

**НАЦІОНАЛЬНИЙ УНІВЕРСИТЕТ БІОРЕСУРСІВ
І ПРИРОДОКОРИСТУВАННЯ УКРАЇНИ**

Факультет/(ННІ) інформаційних технологій

ПОГОДЖЕНО

**Декан факультету (Директор ННІ)
інформаційних технологій**
_____ (назва факультету (ННІ))

Болбот І.М.

(підпис)

(ПБ)

“ ” _____ 20_р.

ДОПУСКАЄТЬСЯ ДО ЗАХИСТУ

**Завідувач кафедри
комп'ютерних наук**
_____ (назва кафедри)

Голуб Б.Л.

(підпис)

(ПБ)

“ ” _____ 20_р.

МАГІСТЕРСЬКА КВАЛІФІКАЦІЙНА РОБОТА

на тему **Інформаційна система інтерактивної візуалізації та обміну даними про стан розвитку рослин**

Спеціальність _____ 122 "Комп'ютерні науки"

(код і найменування)

Освітня програма _____ Інформаційні управляючі системи та технології

(назва)

Орієнтація освітньої програми _____ освітньо-професійна

(освітньо-професійна або освітньо-наукова)

Гарант освітньої програми

К.Т.Н., доцент

_____ (науковий ступінь та вчене звання)

(підпис)

Голуб Б.Л.

(ПБ)

Керівник магістерської кваліфікаційної роботи

К.Т.Н., доцент

_____ (науковий ступінь та вчене звання)

(підпис)

Вайганг Г.О.

(ПБ)

Виконав

_____ (підпис)

Драга Д.С.

(ПБ студента)

КИЇВ – 2025

НАЦІОНАЛЬНИЙ УНІВЕРСИТЕТ БІОРЕСУРСІВ
І ПРИРОДОКОРИСТУВАННЯ УКРАЇНИ

Факультет (НП) _____ інформаційних технологій _____

ЗАТВЕРДЖУЮ

Завідувач кафедри _____ комп'ютерних наук
_____ доцент, к.т.н. _____ Голуб Б. Л.
(науковий ступінь, вчене звання) (підпис) (ПІБ)
“ 10 ” вересня _____ 2025 року

З А В Д А Н Н Я

ДО ВИКОНАННЯ МАГІСТЕРСЬКОЇ КВАЛІФІКАЦІЙНОЇ РОБОТИ СТУДЕНТУ

_____ Драги Дениса Сергійовича _____

(прізвище, ім'я, по батькові)

Спеціальність 122 «Комп'ютерні науки»

(код і назва)

Освітня програма _____ Інформаційні управляючі системи та технології _____

(назва)

Орієнтація освітньої програми _____ освітньо-професійна _____

Тема магістерської кваліфікаційної роботи Інформаційна система інтерактивної візуалізації та обміну даними про стан розвитку рослин затверджена наказом ректора НУБіП України від “ 1 ” листопада 2024р. №1964 «С»

Термін подання завершеної роботи на кафедру _____ .11 листопада 2025 _____

(рік, місяць, число)

Вихідні дані до магістерської кваліфікаційної роботи: Нормативно-довідкова та наукова література з інформаційних систем, баз даних, методів візуалізації та обробки даних; технічна документація з проєктування та розробки програмних комплексів; програмні засоби для розробки веб-застосунків і інтерактивних інтерфейсів; відкриті дані щодо стану розвитку рослин (аграрні статистичні бази, сенсорні дані моніторингу); вимоги стандартів до побудови інформаційних систем і користувацьких інтерфейсів.

Перелік питань, що підлягають дослідженню:

1. Системний аналіз предметної області
2. Моделювання та архітектурне проєктування системи
3. Реалізація програмного забезпечення та технологічна інфраструктура системи
4. Тестування та оцінювання ефективності системи

Перелік графічного матеріалу (за потреби) презентація, постер, схеми та діаграми архітектури системи

Дата видачі завдання “ 1 ” вересня _____ 2025_ р.

Керівник магістерської кваліфікаційної роботи _____ Вайганг Г. О. _____
(підпис) (прізвище та ініціали)

Завдання прийняв до виконання _____ Драга Д.С. _____
(підпис) (прізвище та ініціали студента)

КАЛЕНДАРНИЙ ПЛАН

| № з/п | Назва етапів виконання магістерської кваліфікаційної роботи | Строк виконання етапів магістерської кваліфікаційної роботи | Примітка |
|-------|---|---|----------|
| 1 | Видача завдання | 01.11.2024 | |
| 2 | Аналіз предметної області | 02.11-24.11.2024 | |
| 3 | Моделювання предметної області | 25.11-31.12.2024 | |
| 4 | Розробка системи | 01.01-30.04.2025 | |
| 5 | Аналіз результатів | 01.05-31.07.2025 | |
| 6 | Оформлення записки | 01.08-10.11.2025 | |
| 7 | Постерна сесія | 28.10.2025 – 29.10.2025 | |
| 8 | Перевірка на плагіат | 13.11.2025 | |
| 9 | Попередній захист | 01.12.2025 | |
| 10 | Захист | 15.12.2025 | |

Студент _____ Драга Денис
(підпис) (Ім'я ПРІЗВИЩЕ)

Керівник магістерської кваліфікаційної роботи _____ Ганна Вайганг
(підпис) (Ім'я ПРІЗВИЩЕ)

РЕФЕРАТ

Магістерська кваліфікаційна робота: «Інформаційна система інтерактивної візуалізації та обміну даними про стан розвитку рослин».

Кількість сторінок: 90, рисунків: 38, таблиць: 13, додатків: 1, використаних джерел: 30.

Актуальність теми. Сучасні методи спостереження в аграрному секторі, що базуються на ручному зборі даних, не забезпечують своєчасного реагування на зміни умов середовища. Використання інформаційних систем, інтегрованих із сенсорними IoT-пристроями та модулями візуалізації, створює нові можливості для агроінформатики: підвищення точності моніторингу та оптимізації агротехнічних рішень на основі аналітики даних у реальному часі.

Мета і завдання дослідження. Метою роботи є розроблення інформаційної системи інтерактивної візуалізації та обміну даними про стан розвитку рослин, що забезпечує комплексний збір, оброблення, зберігання та відображення агробіологічних показників. Для досягнення мети вирішено такі завдання:

1. Проаналізувати предметну область та існуючі рішення агромоніторингу.
2. Розробити модель даних та архітектуру системи з використанням IoT-сенсорів і хмарних сервісів.
3. Реалізувати програмний прототип з інтерактивним інтерфейсом та модулями прогнозування.
4. Провести тестування ефективності системи в реальних умовах.

Об'єкт дослідження: процес інформаційного моніторингу стану рослин у динамічних умовах середовища. **Предмет дослідження:** методи та програмні засоби збору, оброблення й інтерактивної візуалізації даних про розвиток рослин.

Методи дослідження. Використано методи системного аналізу, сенсорної аналітики, баз даних, алгоритмів обробки часових рядів (ARIMA, LSTM), статистичного моделювання та засобів візуальної аналітики.

Наукова новизна. Створено єдину архітектуру для збору й візуалізації аграрних даних із застосуванням інтерактивного обміну між польовими станціями та користувачем. Розроблено унікальну підсистему оцінювання метричних характеристик (індекси РНІ, Model Reliability), яка дозволяє системі автоматично оцінювати точність і стабільність власних прогнозів.

Практичне значення. Розроблена система дозволяє здійснювати моніторинг теплиць та відкритих полів, підвищує ефективність прийняття рішень та сприяє формуванню цифрового агровиробництва.

ОСНОВНИЙ ЗМІСТ РОБОТИ. У першому розділі проведено системний аналіз предметної області. Розглянуто існуючі рішення (Climate FieldView, John Deere Operations Center, Arable Mark), виявлено їх недоліки, такі як обмеженість у динамічній візуалізації біофізичних процесів. Сформульовано вимоги до системи та виконано моделювання предметної області за допомогою діаграм UML (варіантів використання, послідовності, активності).

У другому розділі обґрунтовано архітектуру системи. Розроблено логічну модель даних (ER-діаграму), що включає сутності сенсорів, вимірювань, прогнозів та звітів. Спроектовано діаграми класів, компонентів та пакетів, які відображають модульну структуру програмного забезпечення: сенсорний рівень (ESP32), транспортний рівень (MQTT), сервер аналітики та інтерфейс користувача.

У третьому розділі подано узагальнений опис програмної реалізації системи. Розглянуто використаний технологічний стек на основі Python з FastAPI, Pandas і TensorFlow, застосування SQLite для зберігання даних та PyQt6 для інтерфейсу. Описано роботу транспортного шару MQTT, а також реалізацію аналітичних модулів кластеризації та прогнозування (K-Means, LSTM, ARIMA), що забезпечують оцінку параметрів середовища та розрахунок індексу РНІ.

Структуру інформаційної бази представлено у вигляді «зірки», що забезпечує ефективний OLAP-аналіз телеметрії.

Четвертий розділ містить результати тестування і розгортання системи. Підтверджено стабільність роботи під час навантаження: втрати телеметрії становили менш ніж 0,5%. Алгоритми виявлення аномалій продемонстрували Recall 94%, а інтерфейс показав середній час реакції 138 мс. Застосування Docker-контейнерів забезпечило відтворюваність середовища та спростило масштабування системи.

У результаті виконання роботи створено повноцінний програмний комплекс. Система забезпечує інтерактивну візуалізацію до 50 000 записів історичних даних із затримкою синхронізації 250-400 мс. Підтверджено, що інтеграція моделей машинного навчання та метричної самоперевірки дозволяє оперативно виявляти відхилення у розвитку культур і підвищувати ефективність управління агроєкосистемою.

Ключові слова: *інформаційна система; агромоніторинг; IoT-сенсори; телеметрія; часові ряди; ARIMA; LSTM; прогнозування стану рослин; Plant Health Index; кластеризація; FastAPI; SQLite.*

ABSTRACT

Master's thesis: "**Information System for Interactive Visualization and Data Exchange on Plant Development Status**"

Author: Denys Draha **Supervisor:** Ph.D., Associate Professor Ganna Weigang

Number of pages: 90, figures: 38, tables: 13, appendices: 1, references: 30.

Relevance. Modern observation methods in the agricultural sector, based on manual data collection, do not ensure timely response to environmental changes. The use of information systems integrated with IoT sensors and visualization modules creates new opportunities for agri-informatics: improving monitoring accuracy and optimizing agrotechnical decisions based on real-time data analytics.

Purpose and Objectives. The aim of the work is to develop an information system for interactive visualization and data exchange to ensure comprehensive collection, processing, storage, and display of agro-biological indicators. To achieve this goal, the following tasks were solved:

1. Analyze the subject area and existing agro-monitoring solutions.
2. Develop a data model and system architecture using IoT sensors and cloud services.
3. Implement a software prototype with an interactive interface and forecasting modules.
4. Conduct efficiency testing of the system in real-world conditions.

Object of Research: The process of information monitoring of plant status under dynamic environmental conditions. **Subject of Research:** Methods and software tools for collection, processing, and interactive visualization of plant development data.

Methods. The research utilizes system analysis, sensor analytics, database theory, time-series processing algorithms (ARIMA, LSTM), statistical modeling, and visual analytics tools.

Scientific Novelty. A unified architecture for agrarian data collection and visualization with interactive exchange between field stations and the user has been

created. A unique metric assessment subsystem (PHI, Model Reliability) was developed, allowing the system to automatically evaluate the accuracy and stability of its own forecasts.

Practical Value. The developed system enables monitoring of greenhouses and open fields, improves decision-making efficiency, and contributes to the formation of digital agricultural production.

CONTENT SUMMARY. **Chapter 1** provides a systemic analysis of the subject area. Existing solutions (Climate FieldView, John Deere Operations Center, Arable Mark) were reviewed, and their limitations in dynamic visualization of biophysical processes were identified. System requirements were formulated, and the subject area was modeled using UML diagrams (Use Case, Sequence, Activity).

Chapter 2 justifies the system architecture. A logical data model (ER diagram) was developed, including entities for sensors, measurements, forecasts, and reports. Class, component, and package diagrams were designed to reflect the modular software structure: sensor layer (ESP32), transport layer (MQTT), analytics server, and user interface.

Chapter 3 provides a consolidated overview of the system's software implementation. It outlines the technological stack built on Python using FastAPI, Pandas, and TensorFlow, as well as SQLite for data storage and PyQt6 for the user interface. The operation of the MQTT transport layer is described, together with the implementation of analytical modules for clustering and forecasting (K-Means, LSTM, ARIMA), which support the assessment of environmental parameters and the calculation of the Plant Health Index (PHI). The information base is organized as a star schema, enabling efficient OLAP-oriented processing of telemetry.

Chapter 4 presents the results of system testing and deployment. The system demonstrated stable performance under load, with telemetry packet loss remaining below 0.5%. The anomaly detection algorithms achieved a Recall of 94%, while the interface maintained an average response time of 138 ms. Deployment through Docker

containers ensured reproducible execution environments and simplified system scalability.

As a result of the work, a complete software complex was created. The system ensures interactive visualization of up to 50,000 historical data records with a synchronization delay of 250-400 ms. It is confirmed that the integration of machine learning models and metric self-verification allows for rapid detection of deviations in crop development and increases the efficiency of agro-ecosystem management.

Keywords: *Information System; Agro-monitoring; IoT sensors; Telemetry; Time Series; ARIMA; LSTM; Plant-state Forecasting; Plant Health Index; Clustering; FastAPI; SQLite.*

ЗМІСТ

| | |
|---|----|
| ПЕРЕЛІК УМОВНИХ СКОРОЧЕНЬ | 5 |
| ВСТУП | 7 |
| 1 СИСТЕМНИЙ АНАЛІЗ ПРЕДМЕТНОЇ ОБЛАСТІ..... | 8 |
| 1.1 Опис предметної області | 8 |
| 1.2 Теоретико-методологічні засади та стан наукових досліджень | 10 |
| 1.3 Аналіз існуючих рішень | 12 |
| 1.4 Моделювання предметної області | 16 |
| 1.5 Аналіз вимог розроблюваної системи..... | 19 |
| 1.6 Постановка завдання..... | 22 |
| 1.7 Висновки до першого розділу..... | 24 |
| 2 МОДЕЛЮВАННЯ ТА АРХІТЕКТУРНЕ ПРОЄКТУВАННЯ СИСТЕМИ | 26 |
| 2.1 Логічна модель даних у вигляді ER-діаграми | 26 |
| 2.2 Діаграма класів та кооперації..... | 28 |
| 2.3 Діаграма компонентів | 31 |
| 2.4 Діаграма пакетів | 33 |
| 2.5 Висновки до другого розділу | 35 |
| 3 РЕАЛІЗАЦІЯ ПРОГРАМНОГО ЗАБЕЗПЕЧЕННЯ ТА ТЕХНОЛОГІЧНА | 36 |
| ІНФРАСТРУКТУРА СИСТЕМИ..... | 36 |
| 3.1 Вибір технологій та інструментальних засобів реалізації системи | 36 |
| 3.2 Архітектура системи та проектування функціоналу результатів | 39 |
| дослідження | 39 |
| 3.3 Інформаційна база системи | 43 |
| 3.4 Алгоритмізація модулів системи | 47 |

| | |
|---|----|
| | 4 |
| 3.5 Висновки до третього розділу..... | 53 |
| 4 ТЕСТУВАННЯ ТА ОЦІНЮВАННЯ ЕФЕКТИВНОСТІ СИСТЕМИ..... | 55 |
| 4.1 План тестування програмних модулів та методика оцінювання | 55 |
| результатів..... | 55 |
| 4.2 Тестування інтелектуальної системи моніторингу та прогнозування | 57 |
| стану рослин | 57 |
| 4.3 Результати тестування та аналіз ефективності системи..... | 60 |
| 4.4 Розгортання системи та склад інсталяційного пакета | 62 |
| 4.5 Висновки до четвертого розділу | 65 |
| ВИСНОВКИ..... | 66 |
| СПИСОК ВИКОРИСТАНИХ ДЖЕРЕЛ | 68 |

ПЕРЕЛІК УМОВНИХ СКОРОЧЕНЬ

- API – Application Programming Interface, програмний інтерфейс взаємодії компонентів.
- ARIMA – AutoRegressive Integrated Moving Average, авторегресійноінтегрована модель середнього ковзання.
- AS – Anomaly Severity, метричний показник ступеня аномальності даних.
- CPU – Central Processing Unit, центральний процесор.
- CSV – Comma-Separated Values, формат табличних текстових даних.
- DAQ – Data Acquisition, процес збирання даних із сенсорних вузлів.
- DB – Database, база даних.
- DQI – Data Quality Index, індекс якості даних.
- EMQX – високопродуктивний MQTT-брокер для IoT-систем.
- ESP32 – мікроконтролер IoT-шлюзу сенсорних вузлів.
- FNN – Feedforward Neural Network, багаторівнева нейронна мережа прямого поширення.
- HTML – HyperText Markup Language, мова розмітки веб-документів.
- HTTP(S) – HyperText Transfer Protocol (Secure), протокол передавання гіпертекстових даних.
- IoT – Internet of Things, інтернет речей.
- JSON – JavaScript Object Notation, формат структурованих даних.
- K-means – метод кластеризації на основі середніх значень.
- LSTM – Long Short-Term Memory, довготривала рекурентна пам'ять для прогнозування часових рядів.
- Lux – одиниця вимірювання інтенсивності освітленості.
- MAE – Mean Absolute Error, середня абсолютна похибка моделі.
- MQTT – Message Queuing Telemetry Transport, легковаговий брокерський протокол обміну телеметрією.

- ORM – Object-Relational Mapping, технологія відображення об'єктів у реляційну БД.
- PCA – Principal Component Analysis, метод головних компонент для зниження розмірності даних.
- PDF – Portable Document Format, формат електронних документів.
PHI – Plant Health Index, інтегральний індекс стану рослини.
- pH – водневий показник кислотності ґрунту.
- RAM – Random Access Memory, оперативна пам'ять.
- REST – Representational State Transfer, архітектурний стиль веб-взаємодії.
- RMSE – Root Mean Square Error, середньоквадратична похибка прогнозової моделі.

ВСТУП

Актуальність теми зумовлена необхідністю підвищення ефективності моніторингу стану розвитку рослин у контексті цифровізації аграрного сектору. Сучасні методи спостереження, що базуються на ручному зборі даних, не забезпечують своєчасного реагування на зміни умов середовища, водного та поживного балансу, а також не дозволяють формувати аналітичні моделі росту у реальному часі. Використання інформаційних систем, інтегрованих із сенсорними IoT-пристроями, хмарними базами даних та модулями візуалізації, створює нові можливості для агроінформатики: підвищення точності моніторингу, прогнозування динаміки росту культур і оптимізації агротехнічних рішень на основі аналітики даних [1].

Метою дослідження є розроблення інформаційної системи інтерактивної візуалізації та обміну даними про стан розвитку рослин, що забезпечує комплексний збір, оброблення, зберігання, відображення й обмін агробіологічними показниками у режимі реального часу.

Для досягнення цієї мети необхідно реалізувати інтеграцію апаратних сенсорних модулів (температура, вологість, рН, освітленість), каналу передавання даних (MQTT/HTTP), серверної частини з базою даних і вебінтерфейсу для відображення аналітичних візуалізацій.

У рамках поставленої мети передбачено розв'язання таких **завдань**:

- проаналізувати предметну область моніторингу стану рослин та способи агродіагностики;
- дослідити існуючі системи візуалізації й управління аграрними даними;
- розробити модель даних для представлення показників росту рослин і параметрів середовища;
- побудувати архітектуру інформаційної системи з використанням IoT-сенсорів і хмарних сервісів;

– створити програмний прототип з інтерактивним інтерфейсом та провести тестування ефективності в реальних умовах.

Об’єктом дослідження є процес інформаційного моніторингу стану рослин у динамічних умовах середовища.

Предметом дослідження є методи та програмні засоби збору, оброблення й інтерактивної візуалізації даних про розвиток рослин.

Для досягнення поставлених завдань використано методи системного аналізу, сенсорної аналітики, баз даних, алгоритмів обробки часових рядів, статистичного моделювання та засобів візуальної аналітики. Програмна частина реалізовуватиметься на основі технологій Python (Flask, Matplotlib, Pandas), JavaScript (React, D3.js) і протоколів IoT (MQTT, HTTP REST), що забезпечує гнучку інтеграцію між мікроконтролерами (ESP32, Arduino), серверною частиною та користувацьким вебінтерфейсом.

Наукова новизна роботи полягає у створенні єдиної архітектури для збору й візуалізації аграрних даних із застосуванням інтерактивного обміну між польовими сенсорними станціями та користувацькими пристроями через хмарні сервіси.

Практична цінність представляється у можливості використання розробленої системи для моніторингу теплиць, відкритих полів та дослідних ділянок, що підвищує ефективність прийняття агротехнічних рішень, сприяє економії ресурсів і формуванню цифрового агровиробництва.

1 СИСТЕМНИЙ АНАЛІЗ ПРЕДМЕТНОЇ ОБЛАСТІ

1.1 Опис предметної області

Інформаційна система інтерактивної візуалізації та обміну даними про стан розвитку рослин призначена для збору, зберігання, аналізу та відображення агробіологічних показників у реальному часі. Предметна область охоплює процеси моніторингу параметрів середовища (вологість ґрунту, температура,

освітленість, рівень рН, вологість повітря), аналізу динаміки росту рослин, виявлення відхилень та формування рекомендацій щодо оптимізації агротехнічних рішень. На рис. 1.1 наведено структурну схему системи, яка відображає основні компоненти збору та оброблення даних.

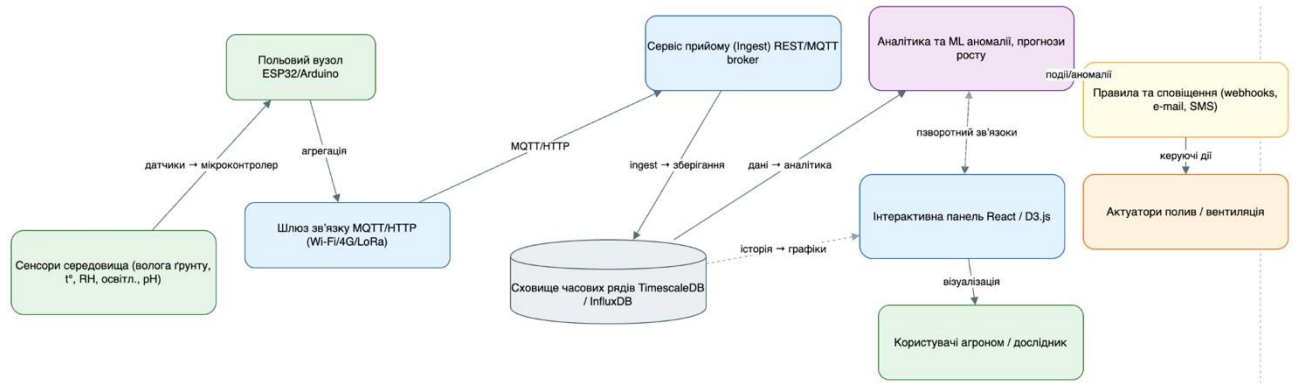


Рис. 1.1 Структура інформаційної системи інтерактивної візуалізації та обміну даними про розвиток рослин

Основу системи становить IoT-інфраструктура, до складу якої входять сенсори середовища, польові вузли (ESP32 або Arduino), шлюз зв'язку (WiFi/LoRa/4G) і сервер прийому даних через MQTT або REST API. Зібрані параметри надходять до хмарного брокера, де виконуються оброблення, фільтрація шумів та передача до сховища часових рядів -TimescaleDB або InfluxDB, що забезпечує довготривале зберігання і подальшу аналітику [3].

Далі дані надходять у модуль аналітики та машинного навчання, який реалізує алгоритми класифікації та прогнозування стану рослин, виявлення аномалій і побудову моделей росту. Результати аналізу передаються у вебінтерфейс - інтерактивну панель, реалізовану засобами React і D3.js, що дає можливість агроному або досліднику здійснювати моніторинг у реальному часі, переглядати графіки, тенденції й карти параметрів (рис. 1.1). Додатково реалізовано підсистему правил і сповіщень, що автоматично формує сигнали у разі виявлення критичних відхилень та надсилає їх користувачам або актуаторам (системам поливу, вентиляції).

Основні параметри, які збирає система, наведено у табл. 1.1, де вказано тип сенсорів, фізичну величину, одиницю вимірювання та частоту опитування.

Таблиця 1.1

Основні параметри моніторингу системи

| № | Параметр | Тип сенсора | Одиниця вимірювання | Період опитування |
|---|---------------------|----------------------|---------------------|-------------------|
| 1 | Вологість ґрунту | Soil Moisture Sensor | % | 5 хв |
| 2 | Температура повітря | DHT22 / BME280 | °C | 5 хв |
| 3 | Вологість повітря | DHT22 / BME280 | % | 5 хв |
| 4 | Освітленість | BH1750 / TSL2561 | lx | 10 хв |
| 5 | Кислотність (pH) | Analog pH Meter | pH | 15 хв |
| 6 | Температура ґрунту | DS18B20 | °C | 10 хв |

Предметна область системи визначає безперервний технологічний цикл: збір → передавання → зберігання → аналітика → візуалізація → управлінські дії. Ця архітектура дозволяє забезпечити оперативний обмін інформацією між польовими сенсорними вузлами та користувацьким інтерфейсом, що створює передумови для впровадження інтелектуального управління мікрокліматом, ресурсами зрошення та моніторингу біологічних процесів у рослинах. Подальші етапи роботи передбачають моделювання логічних зв'язків між компонентами системи, формалізацію вимог і розроблення архітектурної схеми даних.

1.2 Теоретико-методологічні засади та стан наукових досліджень

Основою теоретичних досліджень є багаторівнева архітектура, у якій сенсорна мережа забезпечує безперервний збір даних (температура, вологість, освітленість, pH), шлюз - їх агрегацію та передавання, а аналітична підсистема - статистичне узагальнення й прогнозування процесів росту [1]. Згідно з результатами Zhang et al. [2], багатокomпонентні IoT-платформи дають змогу підвищити точність оцінки стану культур до 92 % завдяки застосуванню алгоритмів глибокого навчання для виявлення трендів і аномалій. На рис. 1.2 наведено структурну блок-схему архітектури збору та передавання IoT-даних, що

відображає основні рівні обробки: сенсорний, комунікаційний, аналітичний та рівень візуалізації.

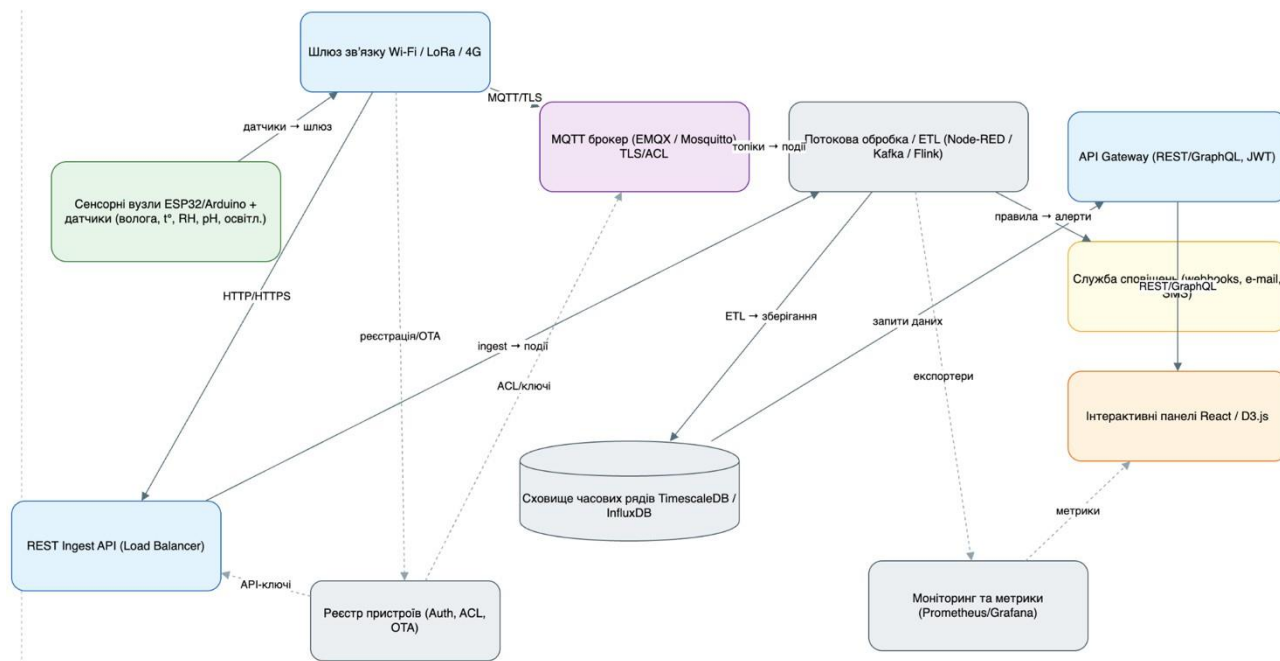


Рис. 1.2 Блок-схема архітектури збору та передавання IoT-даних

Математичні та алгоритмічні основи прогнозування росту рослин спираються на аналіз часових рядів та багатовимірних регресійних моделей. Відомо, що ARIMA-моделі забезпечують стабільність на коротких інтервалах, тоді як LSTM-мережі здатні виявляти довгострокові нелінійні залежності між кліматичними змінними та біомасою рослини [3]. Як показали Khan et al. [4], використання двонаправлених рекурентних структур (Bi-LSTM) з нормалізацією ознак за методом z-score дозволяє знизити середню абсолютну помилку прогнозу до 0.87 MAE, що робить такі моделі придатними для автономних систем управління поливом і вентиляцією. На рис. 1.3 представлено математичну блоксхему аналітики та прогнозування росту рослин, де поетапно відображено процес: підготовку вибірок, фільтрацію шумів, формування ознак $\Phi(x_t)$, навчання моделей $f(x_t, \theta)$ та прогнозування $y(t+\Delta)$.

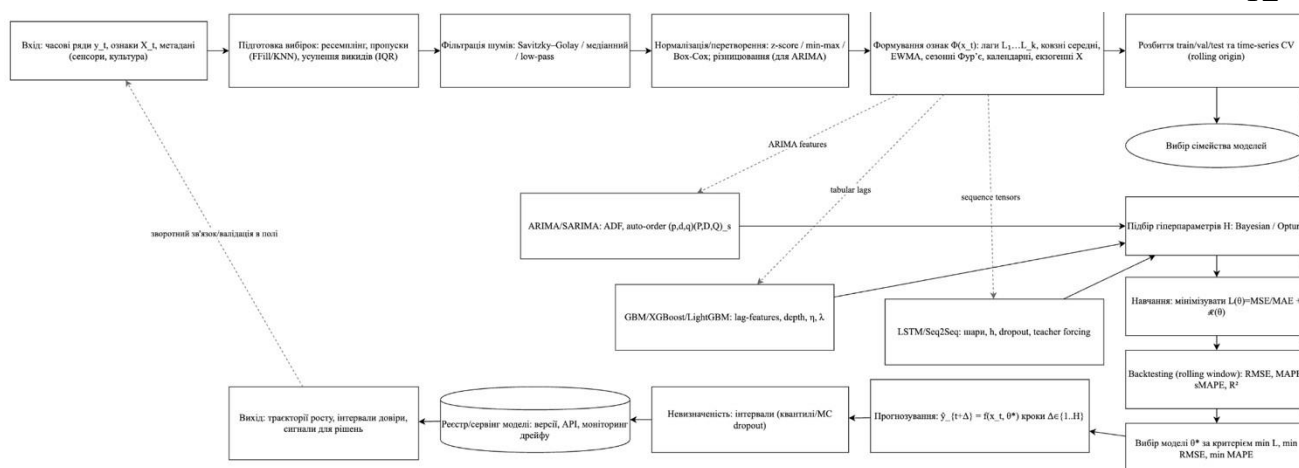


Рис. 1.3 Математична блок-схема аналітики та прогнозування росту рослин

З точки зору методології, такі системи належать до класу кіберфізичних агроєкосистем, у яких інформаційні потоки описуються марковськими процесами прийняття рішень. Відповідно до підходів, викладених у роботах українських дослідників Сухомлина В.А. та Савченка С.П. [5], структурне моделювання процесів агромоніторингу повинно враховувати стохастичний характер кліматичних впливів та передбачати адаптивну зміну параметрів управління в реальному часі. Це забезпечується використанням політик оновлення, заснованих на функціоналі винагороди $J(\theta) = E[\sum \gamma^t r_t]$, що дозволяє балансувати між точністю прогнозу та ресурсними витратами системи.

Розглянуті теоретико-методологічні принципи визначають архітектурну основу майбутньої розробки. У подальших підрозділах буде здійснено моделювання предметної області, визначено вимоги до компонентів системи та сформульовано постановку завдання, що включатиме опис вхідних та вихідних параметрів моделі, методи прогнозування та інтерфейси інтерактивної візуалізації.

1.3 Аналіз існуючих рішень

Системи для агромоніторингу поєднують інструменти геопросторової аналітики, штучного інтелекту та IoT-платформи, забезпечуючи повний цикл – від збору польових даних до прийняття управлінських рішень. Їхній аналіз

дозволяє окреслити сильні сторони та обмеження поточних рішень, а також визначити напрямки вдосконалення під час розробки власної системи. Одним із найпоширеніших комерційних продуктів є Climate FieldView від компанії Bayer, що забезпечує інтеграцію супутникових знімків, сенсорних вимірів і агрономічної статистики. Система реалізує геоаналітичну візуалізацію врожайності, вологості та показників родючості ґрунту. На рис. 1.4 наведено приклад роботи модуля просторового аналізу продуктивності, де кольорове кодування відображає диференціацію врожайності за ділянками.

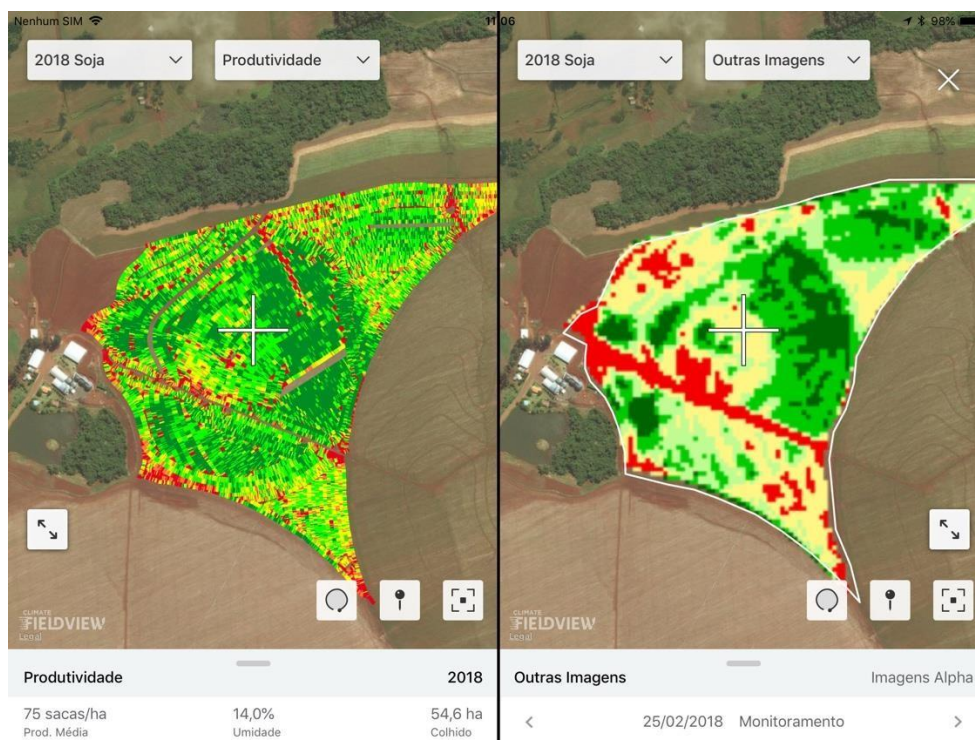


Рис. 1.4 Інтерфейс системи Climate FieldView із візуалізацією показників продуктивності посівів

Платформа John Deere Operations Center орієнтована на управління технічними засобами та польовими процесами. Її компонент Field Analyzer (рис. 1.5) виконує картографування агрономічних параметрів і дозволяє користувачу порівнювати врожайність різних культур та років на основі супутникових зображень і GPS-даних.

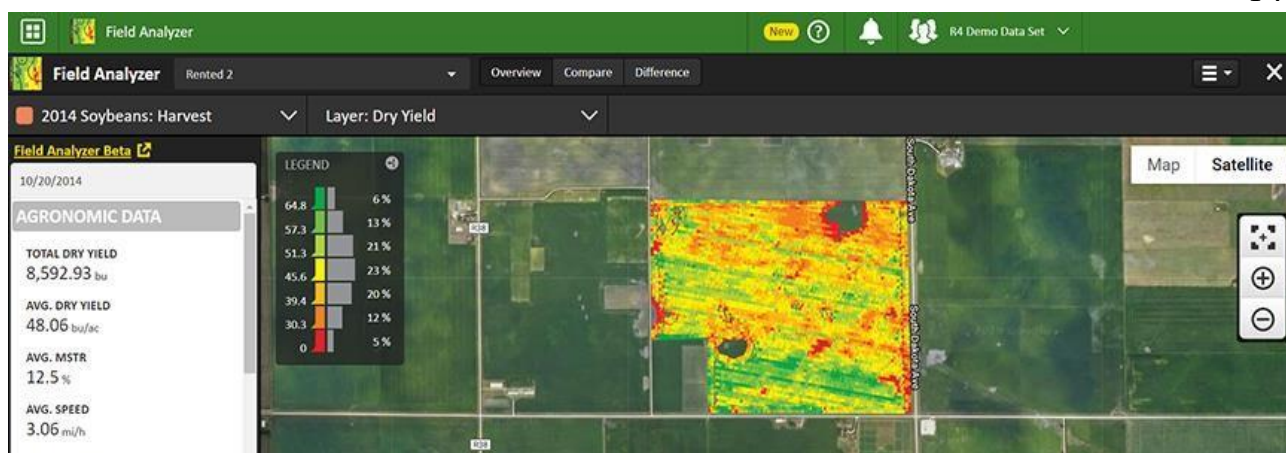


Рис. 1.5 Модуль Field Analyzer у John Deere Operations Center із картою врожайності

Інша система - Arable Mark - забезпечує комплексний збір метеоданих, оцінку індексів вегетації NDVI та прогнозування водного балансу. Як показано на рис. 1.6, модулі системи виконують аналітику евапотранспірації (ET_0) і прогноз зволоження на основі часових рядів, що підвищує ефективність поливних рішень.



Рис. 1.6 Інтерфейс Arable Mark із панеллю прогнозування водного балансу та погодних умов

Система Granular Insights (рис. 1.7) забезпечує агроекономічну аналітику, поєднуючи агрономічні, фінансові та екологічні показники. Її веб-панель

дозволяє здійснювати динамічне порівняння полів, культур і сортів за урожайністю, вологістю, площею збору та рентабельністю.

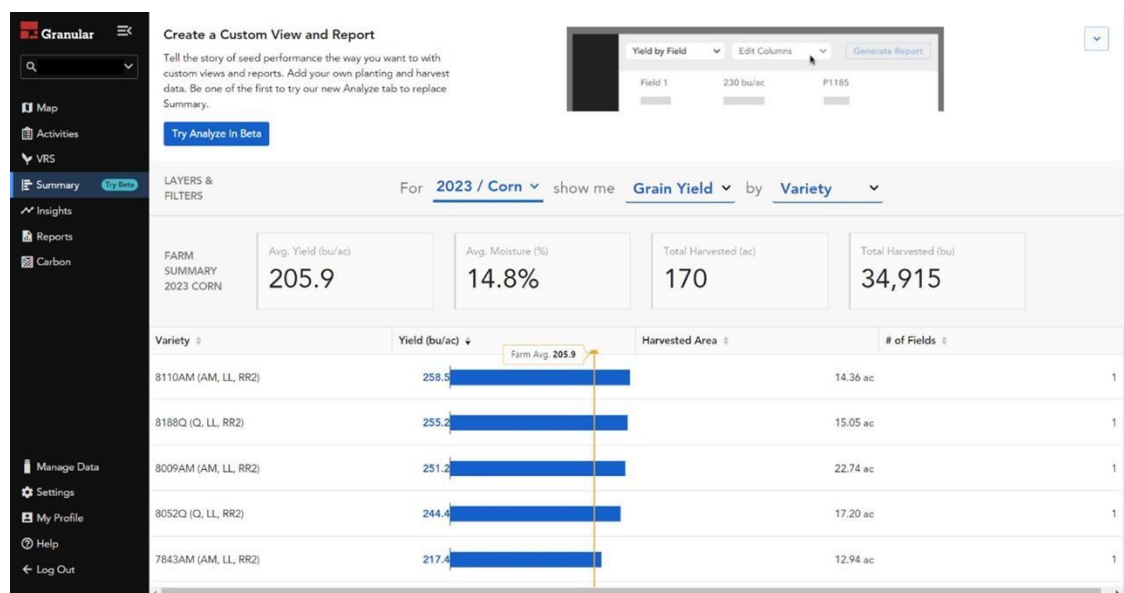


Рис. 1.7 Аналітична панель Granular Insights із порівнянням урожайності культур

Для порівняння зазначених платформ із розроблюваною системою інтерактивної візуалізації та обміну даними про розвиток рослин сформовано табл. 1.2, у якій наведено їх основні характеристики, функціональні можливості й технологічні особливості.

Таблиця 1.2

Порівняльна характеристика існуючих систем і розроблюваного рішення

| Система | Джерела даних | Аналітика / ML | Візуалізація | Інтерактивність | API / Обмін даними | Особливості |
|------------------------------|----------------------------|----------------------|----------------------------|-----------------|--------------------|-------------------------------------|
| 1 | 2 | 3 | 4 | 5 | 6 | 7 |
| Climate FieldView | Супутники, сенсори, машини | Базова статистика | Карти NDVI, продуктивність | Висока | REST / CSV | Орієнтована на великі господарства |
| John Deere Operations Center | GPS, IoT, техніка | Операційна аналітика | Геомапи урожайності | Середня | JDLink API | Інтеграція з обладнанням John Deere |

Продовження табл. 1.2

| 1 | 2 | 3 | 4 | 5 | 6 | 7 |
|----------------------|--|-------------------------|------------------------------------|-------------|------------------------|---|
| Arable Mark | Сенсорні станції | Метеопрогнози, регресія | Графіки, індекси | Висока | REST API | Збалансованість між IoT та аналітикою |
| Granular Insights | Бази даних фермерів | ВІ-моделі, статистика | Панелі, діаграми | Висока | Інтеграції CSV / Cloud | Фінансовоагрономічна спрямованість |
| Розроблювана система | Сенсорні вузли ESP32 / Arduino, InfluxDB | LSTM / ARIMA / GBM | Інтерактивні 3D-візуалізації D3.js | Дуже висока | MQTT + REST | Прогнозування росту рослин у реальному часі |

Аналіз демонструє, що існуючі платформи переважно фокусуються на агрономічній звітності, але мають обмеження у динамічній візуалізації біофізичних процесів та прогнозуванні росту культур. Розроблювана система усуває ці недоліки, забезпечуючи поєднання сенсорної інфраструктури, потокового збору даних і модулів прогнозної аналітики, орієнтованих на інтерактивний контроль і моделювання розвитку рослин у реальному часі.

1.4 Моделювання предметної області

Моделювання предметної області інформаційної системи передбачає формалізацію основних сценаріїв використання, динаміки взаємодії компонентів і логіки процесів збору, аналізу та візуалізації агроданих. Згідно з вимогами UML, розроблено три основні діаграми: варіантів використання, послідовності та активності, що відображають структурну і функціональну модель системи.

На рис. 1.8 подано діаграму варіантів використання, де визначено ключових акторів - агронома, оператора теплиці, менеджера господарства, IoTшлюз, хмарне сховище та партнерський агросервіс.

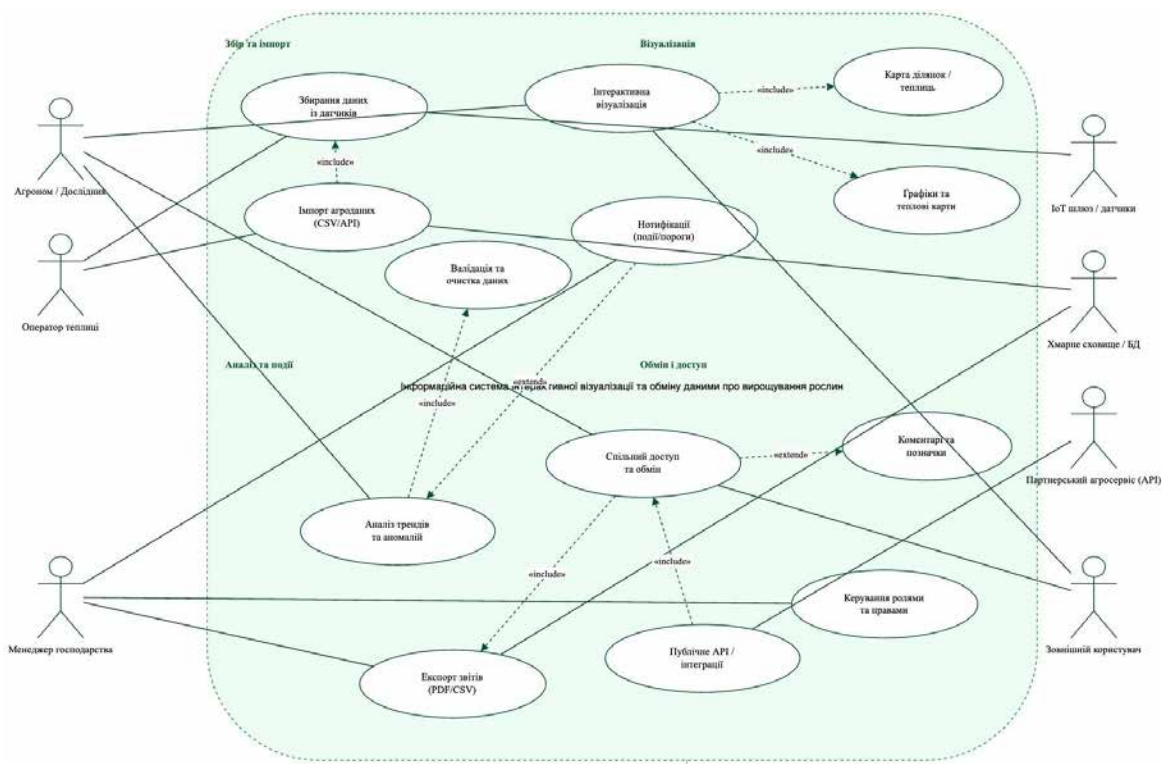


Рис. 1.8 Діаграма варіантів використання інформаційної системи інтерактивної візуалізації та обміну даними

Основними прецедентами є: збирання даних із сенсорів, імпорт агроданих, валідація, інтерактивна візуалізація, аналіз трендів, нотифікації, експорт звітів і спільний доступ до результатів. Структура відображає розподіл функцій між підсистемами: збору, аналітики, візуалізації й комунікації, що забезпечує комплексну підтримку процесів прийняття рішень у рослинництві.

Динамічна взаємодія між компонентами представлена на рис. 1.9, де послідовність повідомлень демонструє типову сесію користувача. Агроном ініціює запуск клієнтського застосунку, який зчитує локальні налаштування, перевіряє підключення до серверів і синхронізує телеметричні дані з хмарним сховищем. Після отримання результатів аналітики система виконує агрегацію метрик, формує карти та графіки й дозволяє користувачу здійснити обмін даними через API або локальний експорт. Сценарій включає механізми кешування, авторизації, синхронізації медіаданих і надсилання сповіщень, що забезпечує безперервну роботу навіть за умови нестабільного інтернетз'єднання.

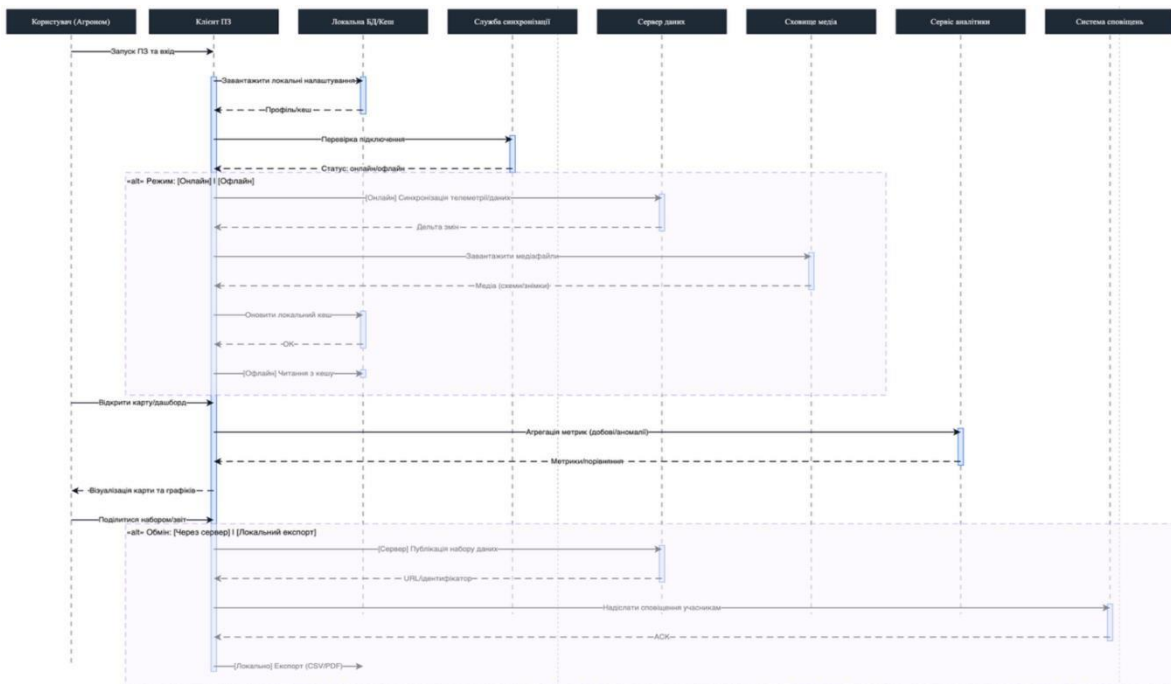


Рис. 1.9 Діаграма послідовності процесів взаємодії користувача з системою

Процесна логіка функціонування системи зображена на рис. 1.10, де наведено UML-діаграму активності. Вона ілюструє послідовність етапів - від запуску програмного забезпечення, автентифікації та оновлення кешу до побудови візуалізацій і обміну результатами. Сценарій містить альтернативні гілки: офлайн-режим (зчитування локальних даних) і онлайн-режим (синхронізація з хмарними сервісами), що підвищує надійність системи.

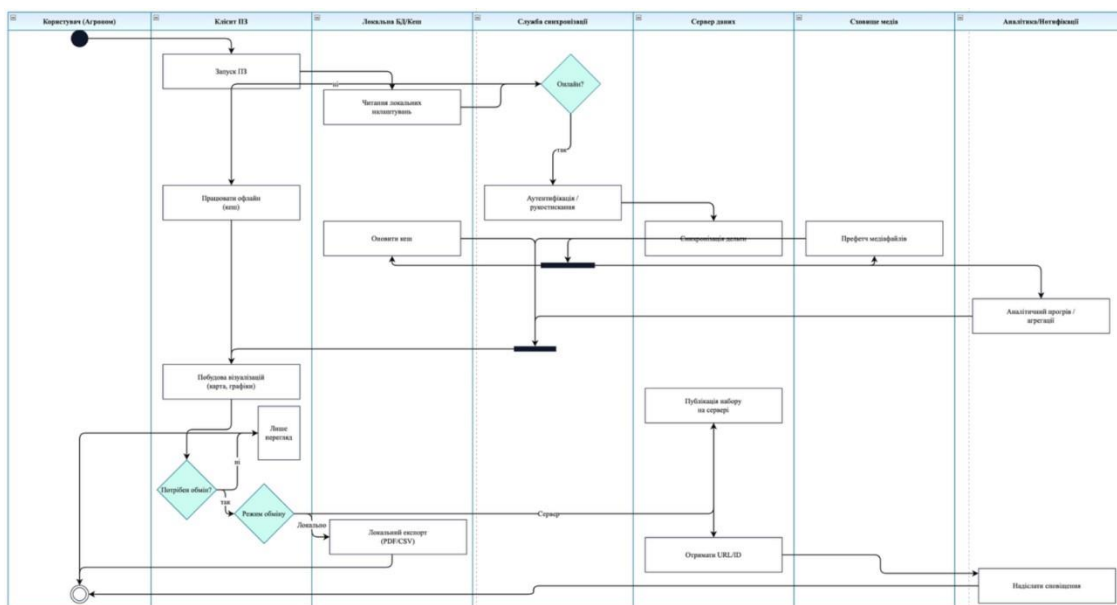


Рис. 1.10 Діаграма активності процесів функціонування системи

Завершальний етап - формування аналітичного звіту та надсилання нотифікацій - реалізує інтеграцію з аналітичними сервісами та підсистемами сповіщень.

Модель предметної області визначає взаємозв'язки між акторами, модулями та потоками даних, що дозволяє забезпечити узгодженість програмної архітектури з концептуальною моделлю агромоніторингу. Розроблені діаграми створюють основу для подальшого проектування структурних компонентів, моделі даних і алгоритмів прогностичної аналітики, що будуть розглянуті у наступних розділах.

1.5 Аналіз вимог розроблюваної системи

Аналіз вимог є одним із визначальних етапів життєвого циклу розроблення програмного забезпечення, оскільки він формує структурну основу майбутньої архітектури системи, задає функціональні межі її застосування та визначає показники якості. Для інформаційної системи інтерактивної візуалізації та обміну даними про стан розвитку рослин цей процес передбачає систематизацію вимог користувачів, опис технологічних характеристик та оцінку обмежень, зумовлених умовами експлуатації. Результатом є створення формалізованої бази специфікацій, яка забезпечує узгодженість між аналітичними, апаратними та програмними компонентами.

Враховуючи результати дослідження предметної області, систему умовно поділено на три підсистеми: збір і агрегація даних, аналітика та прогнозування, інтерактивна візуалізація і комунікація. Кожна з них виконує власний набір функцій, що формують сукупну архітектуру рішення, здатного обробляти часові ряди сенсорних вимірювань, будувати прогностичні моделі на основі машинного навчання та відображати результати у зрозумілій візуальній формі для агрономів, операторів теплиць і дослідників.

Функціональні вимоги системи наведено у табл. 1.3, вони визначають конкретні процеси та дії, які реалізуються у системі для забезпечення повного циклу агромоніторингу - від збору даних до передачі результатів.

Таблиця 1.3

Функціональні вимоги інформаційної системи

| № | Назва вимоги | Опис функціональності | Очікуваний результат |
|---|----------------------------------|---|--|
| 1 | Збір даних із сенсорів | Отримання телеметричних даних (вологість, температура, рН, освітленість) через шлюз MQTT/HTTP | Потік структурованих агрономічних даних у реальному часі |
| 2 | Попередня валідація даних | Перевірка на наявність аномалій, шумів і пропусків | Очищені набори даних для аналітики |
| 3 | Аналітика та прогнозування росту | Побудова моделей на основі LSTM, GBM і ARIMA для прогнозу біофізичних процесів | Прогнозні траєкторії росту та оцінка ризиків |
| 4 | Візуалізація та звітність | Побудова інтерактивних карт і графіків у D3.js, формування звітів у PDF/CSV | Динамічні панелі моніторингу та звіти для користувачів |
| 5 | Експорт і спільний доступ | Інтеграція через REST API, MQTT або CSV | Можливість обміну даними між агросервісами |
| 6 | Система сповіщень | Генерація подій і повідомлень (аномалії, перевищення порогів) | Реактивне інформування користувача |

Поряд із функціональністю особливу роль відіграють нефункціональні вимоги, що визначають експлуатаційні параметри системи, її стабільність, масштабованість і безпеку. Їх подано в табл. 1.4.

Таблиця 1.4

Нефункціональні вимоги системи

| № | Категорія | Вимога | Характеристика |
|---|----------------|---|---|
| 1 | 2 | 3 | 4 |
| 1 | Продуктивність | Обробка не менше 10 тис. точок вимірювання за хвилину | Паралельна обробка даних через черги MQTT та кешування InfluxDB |

| | | | |
|---|-----------------|--|--|
| 2 | Безпека | Використання JWT-токенів, TLS 1.3, контроль доступу | Гарантована автентифікація користувачів і захист даних |
| 3 | Масштабованість | Можливість розподілення навантаження через Docker/Kubernetes | Підтримка горизонтального масштабування кластерів |

Продовження табл. 1.4

| 1 | 2 | 3 | 4 |
|---|------------|---|--|
| 4 | Надійність | Відновлення після збою ≤ 10 секунд, реплікація даних | Забезпечення безперервності аналітики |
| 5 | Юзабіліті | Інтуїтивний інтерфейс (React.js, адаптивний дизайн) | Підвищення ефективності взаємодії користувачів |
| 6 | Сумісність | API-сумісність із зовнішніми агросервісами | Легка інтеграція з існуючими екосистемами |

На рівні технічної реалізації сформовано набір технічних вимог, які визначають середовище функціонування системи, обрані технологічні інструменти, архітектурні принципи та апаратні параметри. Ці вимоги узагальнено в табл. 1.5.

Таблиця 1.5

Технічні вимоги програмної системи

| № | Компонент | Технологія / Платформа | Призначення |
|---|-----------------------|---|--|
| 1 | Серверна частина | Python (FastAPI), InfluxDB, TimescaleDB | Реалізація REST API, оброблення запитів і зберігання часових рядів |
| 2 | Аналітичний модуль | TensorFlow, scikitlearn, Prophet | Навчання й інференс моделей прогнозування росту рослин |
| 3 | Клієнтська частина | React.js, D3.js | Побудова динамічних панелей і графічних звітів |
| 4 | Комунікаційний рівень | MQTT, WebSockets, REST | Потоковий обмін даними між пристроями й сервером |
| 5 | Апаратна база | ESP32, DHT22, BH1750, YL-69 | Моніторинг мікроклімату й стану ґрунту |

| | | | |
|---|---------------------|-------------------------------------|--|
| 6 | Моніторинг і DevOps | Prometheus, Grafana, Docker Compose | Контроль стабільності та автоматизація розгортання системи |
|---|---------------------|-------------------------------------|--|

Зведений аналіз вимог демонструє, що система повинна поєднувати інтелектуальну аналітику, IoT-інтеграцію та інтерфейс високої інтерактивності, орієнтований на потреби аграрних користувачів. Архітектурна модель передбачає модульність, розподіленість і масштабованість, що забезпечує адаптацію системи до змінних умов польових експериментів і виробничих процесів.

Загалом, розроблювана система має реалізовувати цикл даних «сенсор → аналітика → візуалізація → рішення», де кожен етап працює автономно, але інтегровано в загальну аналітичну інфраструктуру. Це створює основу для подальшого архітектурного проектування та переходу до розроблення моделей даних, алгоритмів і програмних компонентів у наступному розділі.

1.6 Постановка завдання

Постановка завдання визначає мету, вхідні та вихідні параметри, логіку перетворення даних і функціональні межі системи, що розробляється. У контексті створення інформаційної системи інтерактивної візуалізації та обміну даними про стан розвитку рослин головною метою є підвищення ефективності агромоніторингу шляхом інтеграції сенсорних вимірювань, аналітичних алгоритмів і візуально-аналітичного інтерфейсу користувача. Система повинна забезпечити збір, очищення, аналіз, прогнозування та відображення інформації про параметри середовища та росту культур у режимі близькому до реального часу, а також можливість обміну результатами між різними учасниками агровиробництва.

У процесі розроблення необхідно створити архітектурно-узгоджену систему, що поєднує фізичний рівень (датчики та шлюзи ESP32/Arduino), аналітичний рівень (моделі машинного навчання для прогнозування росту

рослин), інформаційно-візуалізаційний рівень (вебпанелі, графіки, теплові карти) і комунікаційний рівень (REST/MQTT API, система нотифікацій). Формалізація завдання передбачає реалізацію принципів модульності, масштабованості та стійкості до збоїв, що є критичними для розподілених IoT-систем агротехнологічного призначення [7].

Вхідні дані системи:

- потоки сенсорних вимірювань із польових вузлів (вологість ґрунту, температура, вміст CO₂, освітленість, pH);
- агротехнічні метадані (тип культури, період росту, дата посіву, норми поливу);
- зовнішні джерела метеорологічної інформації (API OpenWeather, NOAA тощо);
- історичні часові ряди з бази TimescaleDB або InfluxDB, необхідні для побудови прогнозних моделей;
- параметри навчання та калібрування моделей (гіперпараметри ARIMA, LSTM, XGBoost).

Вихідні дані системи:

- інтерактивні карти полів і теплиць із відображенням просторових трендів розвитку культур;
- графіки часових змін показників середовища;
- результати прогнозів росту (модельні траєкторії, інтервали довіри, коефіцієнти точності RMSE, MAPE);
- автоматизовані звіти (у форматах CSV/PDF) для менеджера господарства та дослідницьких груп;
- повідомлення про події (аномалії, досягнення критичних порогів, необхідність поливу або корекції живлення).

Формально завдання можна представити як задачу перетворення множини вхідних параметрів

$$X = \{x_1, x_2, \dots, x_n\} \quad (1.1)$$

на множину результатів

$$Y = f(X, \theta), \quad (1.2)$$

де f - функція аналітичної моделі (регресійна, нейромережева або ансамблева), а θ - вектор параметрів, оптимізований у процесі навчання. Таким чином, система має не лише збирати й передавати дані, але й реалізовувати інтелектуальний аналіз часових рядів, побудову прогнозів і автоматичну генерацію рекомендацій для агрономів.

У результаті реалізації завдання буде створено комплексну систему, яка:

- інтегрує IoT-вимірювальні пристрої, аналітичні сервіси та візуалізаційні модулі в єдину інфраструктуру;
- дозволяє користувачам у реальному часі оцінювати стан посівів і прогнозувати їхній розвиток;
- забезпечує адаптивну взаємодію з агросервісами через API та гнучку систему обміну даними;
- формує основу для цифрової трансформації агровиробництва, орієнтованої на принципи точного землеробства та сталого розвитку.

Отже, постановка завдання відображає комплексність і науково-технічну спрямованість проєкту, забезпечуючи логічну послідовність переходу від збору польових даних до прийняття управлінських рішень на основі прогнозної аналітики.

1.7 Висновки до першого розділу

У першому розділі було проведено всебічний аналіз предметної області, пов'язаної з розробленням експертної інформаційної системи ідентифікації рослин. Визначено ключові проблеми сучасних підходів до автоматизованого розпізнавання видів, серед яких - обмеженість навчальних вибірок, неоднорідність візуальних ознак, вплив зовнішніх умов зйомки та недостатня адаптивність алгоритмів до польових даних. Обґрунтовано актуальність

створення системи, що поєднує модулі машинного навчання, структуроване сховище ознак та інтелектуальні механізми рекомендацій.

Проведено системний аналіз наявних рішень у сфері ботанічної класифікації, мобільних і веб-сервісів для ідентифікації рослин. Показано, що більшість із них базується на нейронних мережах загального призначення, але не враховує контекстуальні ознаки середовища та історію спостережень користувача. Це визначило доцільність створення гібридної експертної системи, у якій поєднано алгоритми комп'ютерного зору, семантичну класифікацію та базу знань із параметрами морфологічних і середовищних характеристик.

У процесі теоретико-методологічного обґрунтування сформовано концепцію побудови системи з чітким поділом на підсистеми збору, попередньої обробки, аналітики, бази знань і візуалізації. На основі UML-моделювання визначено структуру основних процесів і сценарії взаємодії користувача з системою. Виконано аналіз функціональних, нефункціональних, технічних та апаратних вимог, що забезпечують ефективність і надійність реалізації програмного комплексу.

Постановка задачі окреслила мету подальших досліджень - створення інтелектуальної системи, здатної здійснювати точну ідентифікацію рослин за цифровими зображеннями, формувати рекомендації на основі накопичених знань і забезпечувати інтерактивну взаємодію з користувачем. Отже, результати першого розділу сформуvalи теоретичну, методологічну та структурну основу для розроблення програмного забезпечення, архітектурну модель якого детально представлено у наступному розділі.

2 МОДЕЛЮВАННЯ ТА АРХІТЕКТУРНЕ ПРОЄКТУВАННЯ СИСТЕМИ

2.1 Логічна модель даних у вигляді ER-діаграми

Логічна модель даних є основою формування структури сховища агробіологічних показників, що забезпечує інтеграцію сенсорних даних, прогнозних результатів та користувацьких звітів у єдиному інформаційному середовищі. Її побудова спрямована на забезпечення цілісності, узгодженості та ефективності оброблення потоків телеметрії в межах системи. Модель орієнтована на ключові процеси - збір, аналітику, прогнозування та візуалізацію параметрів росту рослин.

На рис. 2.1 подано ER-діаграму логічної моделі даних, що відображає базові сутності та зв'язки між ними.

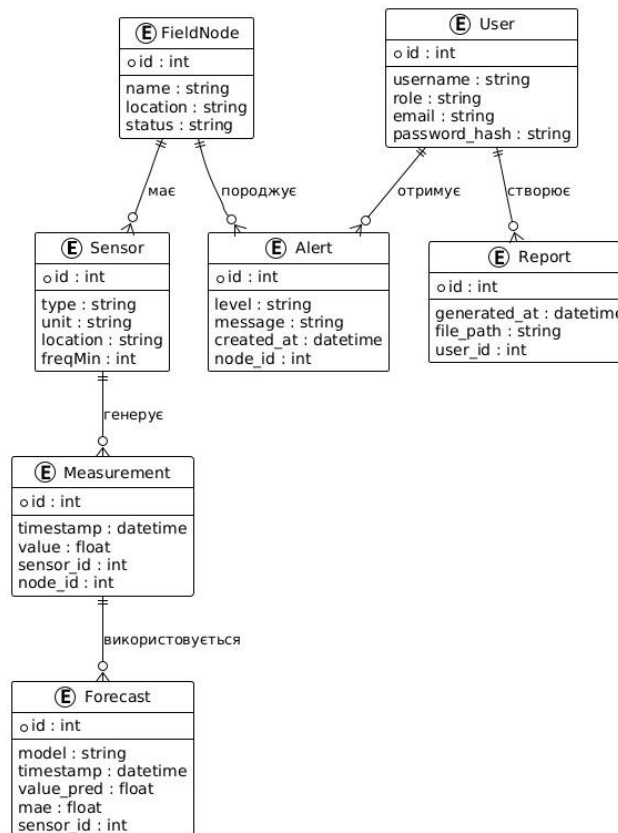


Рис. 2.1 ER-діаграма логічної моделі даних інформаційної системи інтерактивної візуалізації стану розвитку рослин

Структура моделі зосереджена на забезпеченні послідовності руху інформації – від сенсорного вузла (FieldNode) через вимірювальні модулі (Sensor) до агрегованих даних (Measurement) і прогнозних результатів (Forecast), які надалі використовуються для виявлення аномалій (Alert) та формування управлінських звітів (Report).

Модель реалізує концепцію єдиного аналітичного контуру даних, у якому кожен рівень забезпечує свій тип функціональності: сенсорний рівень - збір і передачу даних; аналітичний - прогнозування та інтерпретацію; користувацький - формування звітів і сповіщень. Така структура створює основу для побудови стійких сценаріїв прийняття рішень і розгортання адаптивних ML-модулів.

Основні об'єкти та їх атрибути наведено в табл. 2.1. Вони визначають ключові дані, що формують ядро системи - від сенсорних показників до інформації про користувачів і результати прогнозування.

Таблиця 2.1

Основні сутності та атрибути логічної моделі даних

| Сутність | Ключові атрибути | Тип даних | Призначення |
|-------------|---------------------------------------|-----------------------|---|
| FieldNode | id, name, location, status | int, string | Представлення польового вузла збору даних |
| Sensor | id, type, unit, freqMin | int, string | Технічні параметри сенсорів |
| Measurement | id, timestamp, value, sensor_id | int, datetime, float | Збереження потокових вимірювань |
| Forecast | id, model, value_pred, mae, sensor_id | int, string, float | Результати прогнозних моделей |
| Alert | id, level, message, created_at | int, string, datetime | Система сповіщень про аномалії |
| User | id, username, role, email | int, string | Користувач системи та його роль |
| Report | id, generated_at, file_path, user_id | int, datetime, string | Генеровані звіти користувача |

Логічна модель відображає критичні дані для забезпечення аналітичної та інтерактивної функціональності системи, створюючи структурну основу для

побудови фізичної бази даних та інтеграції з модулями прогнозування й візуалізації.

2.2 Діаграма класів та кооперації

Діаграма класів формує основу об'єктно-орієнтованої моделі системи, відображаючи структурні залежності між компонентами, які реалізують процеси збору, оброблення та аналітики даних. Структура класів системи побудована на принципах нормалізації об'єктів, інкапсуляції логіки та мінімізації дублювання функціональних ролей. Такий підхід забезпечує масштабованість, узгодженість інтерфейсів і можливість подальшої інтеграції модулів прогнозної аналітики, не змінюючи базову архітектуру.

Класи системи поділено на функціональні групи: сенсорний рівень (Sensor, FieldNode), рівень передачі даних (DataIngestor), рівень збереження (TimeSeriesStore), аналітичний рівень (AnalyticsEngine), рівень оповіщення (AlertService) та користувацький інтерфейс (WebDashboard). Така ієрархія формує вертикальну нормалізовану модель, де кожен клас виконує вузько визначену функцію, що спрощує тестування та розширення системи. На рис. 2.2 подано UML-діаграму класів, яка відображає основні атрибути, методи та зв'язки між компонентами.

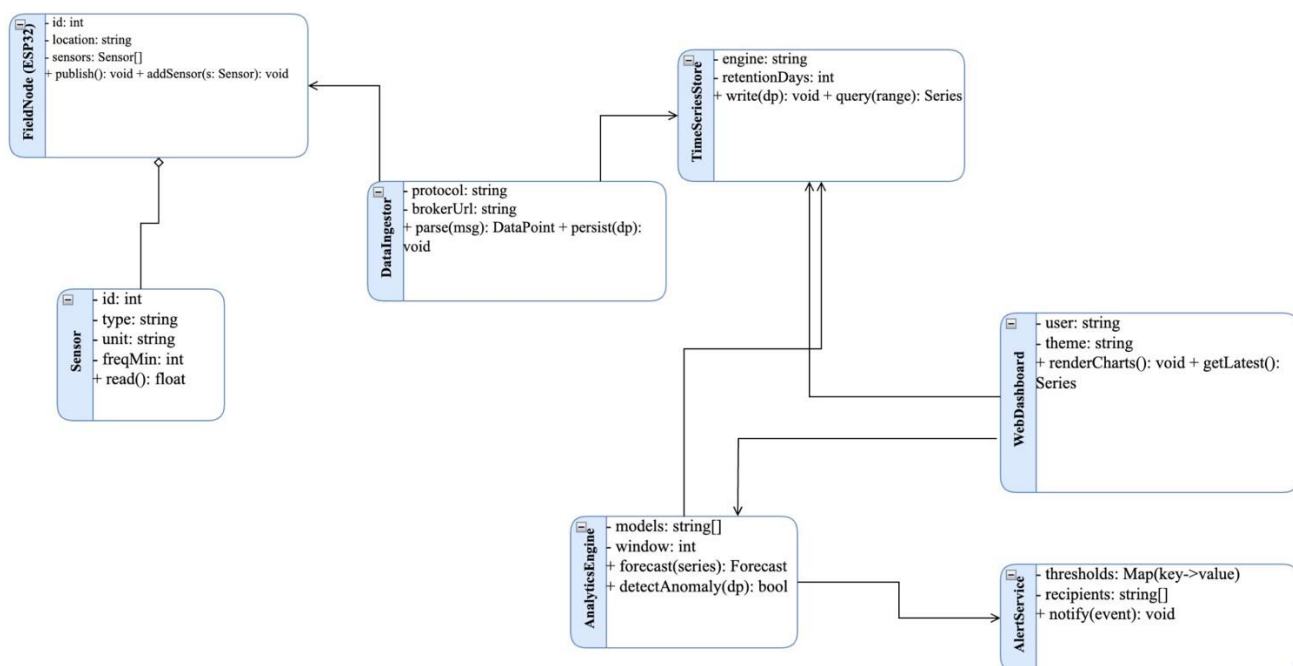


Рис. 2.2 UML-діаграма класів програмного забезпечення системи моніторингу та прогнозування стану рослин

Зв'язки реалізовані за допомогою асоціацій, агрегацій і залежностей, що відображає життєвий цикл даних - від первинного вимірювання до візуалізації результатів. Зокрема, `FieldNode` агрегує набір `Sensor`, тоді як `DataIngestor` забезпечує перетворення потоку MQTT-повідомлень у структуровані об'єкти `DataPoint` і зберігає їх у `TimeSeriesStore`. `AnalyticsEngine` виконує прогнозування на основі часових рядів, а `AlertService` формує події у разі виявлення відхилень.

Для відображення динаміки взаємодії компонентів створено три діаграми кооперацій (рис. 2.3–2.5), які демонструють сценарії функціонування системи у типовому робочому циклі.

У першій кооперації представлений на рисунку 2.3 відображено процес передачі первинних показників від сенсорів через польовий вузол до брокера та сервісу збору.

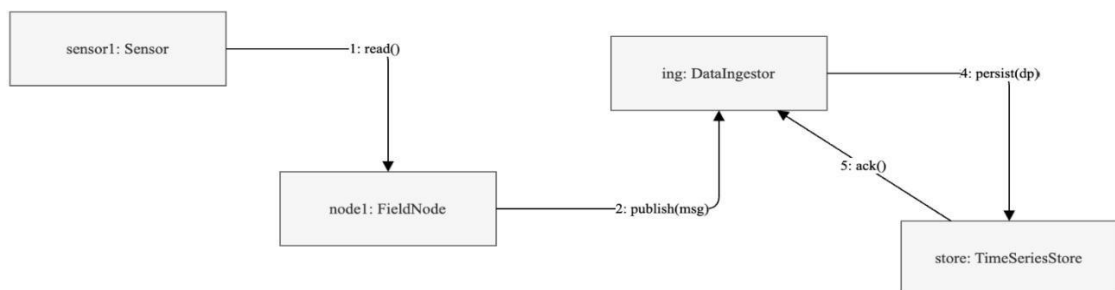


Рис. 2.3 Кооперація 1. Публікація телеметрії між `Sensor`, `FieldNode`, `DataIngestor` та `TimeSeriesStore`

Друга ілюструє (рисунок 2.4) аналітичний контур, де `WebDashboard` ініціює прогнозування, а `AnalyticsEngine` аналізує часові ряди, виявляючи аномалії та генеруючи події у `AlertService`.

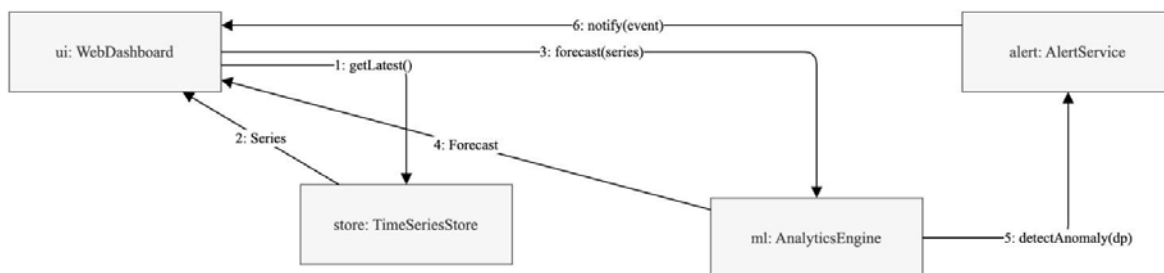


Рис. 2.4 Кооперація 2. Прогнозування й сповіщення між WebDashboard, AnalyticsEngine та AlertService

Третя кооперація на рисунку 2.5 описує користувацьку взаємодію з аналітичними результатами, що надходять із TimeSeriesStore у вигляді візуалізованих графіків.

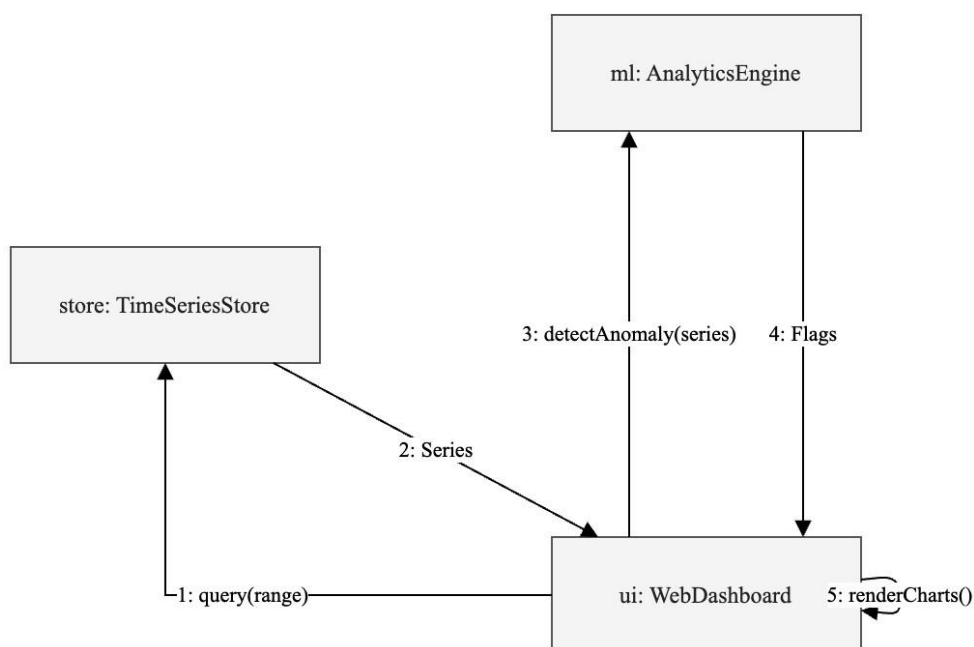


Рис. 2.5 Кооперація 3. Візуалізація даних у WebDashboard через TimeSeriesStore та аналітичні сервіси

Системна архітектура, сформована на основі цих класів і кооперацій, відповідає принципам об'єктної декомпозиції та модульної нормалізації, що зменшує зв'язність компонентів і підвищує стабільність під час масштабування. Усі взаємодії реалізуються через відкриті інтерфейси (REST/WebSocket, MQTT), що гарантує узгодженість між рівнями та можливість інтеграції з зовнішніми джерелами агрометеорологічних даних.

Структурна узгодженість класів та їх функціональні ролі

| Клас | Рівень | Основна функція | Тип зв'язку |
|-----------|-----------|--|-------------|
| 1 | 2 | 3 | 4 |
| FieldNode | Сенсорний | Агрегація сенсорів, публікація телеметрії | Агрегація |
| Sensor | Сенсорний | Зчитування параметрів навколишнього середовища | Асоціація |

Продовження табл. 2.2

| 1 | 2 | 3 | 4 |
|-----------------|------------|--|------------|
| DataIngestor | Передача | Приймання повідомлень, парсинг, збереження даних | Асоціація |
| TimeSeriesStore | Дані | Зберігання та запит часових рядів | Залежність |
| AnalyticsEngine | Аналітика | Прогнозування, виявлення аномалій | Асоціація |
| AlertService | Оповіщення | Формування та розсилка сповіщень | Залежність |
| WebDashboard | Інтерфейс | Візуалізація даних, взаємодія з користувачем | Асоціація |

Результуюча модель демонструє цілісну логіку оброблення аграрних телеметричних потоків, забезпечує узгоджене функціонування сенсорної, аналітичної й інтерфейсної підсистем, а також підтримує розширення системи через додавання нових аналітичних сервісів і типів сенсорів без зміни базової архітектури.

2.3 Діаграма компонентів

Діаграма компонентів відображає архітектурну логіку програмного забезпечення системи, що поєднує сенсорну інфраструктуру, модулі збору та аналітики даних, а також інтерфейс користувача в єдину інтегровану структуру. Основна мета побудови цієї моделі полягає у нормалізації взаємодії між функціональними підсистемами, забезпеченні незалежності компонентів і стабільності обміну даними під час роботи в реальному часі.

На рис. 2.6 наведено UML-діаграму компонентів, яка демонструє архітектурну взаємодію модулів у межах інтелектуальної системи моніторингу стану рослин. Усі підсистеми інтегруються через стандартизовані інтерфейси (REST, MQTT, WebSocket), що забезпечує гнучку масштабованість і сумісність між апаратним рівнем, сервісами оброблення даних і веб-інтерфейсом.

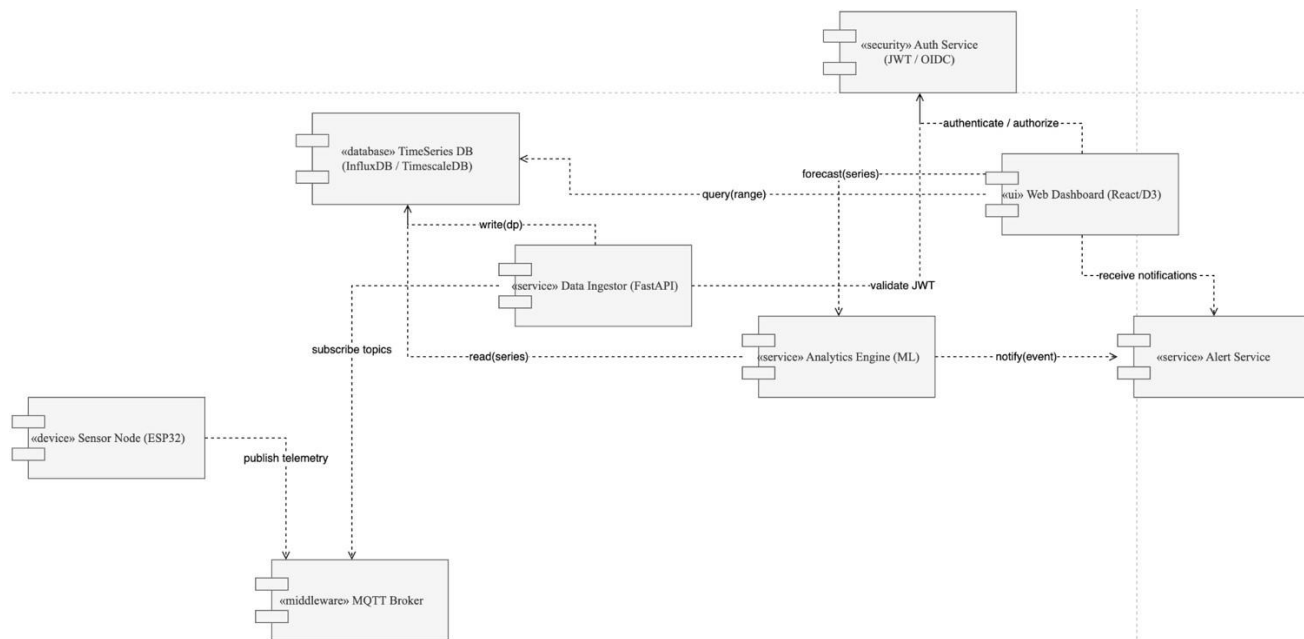


Рис. 2.6 Діаграма компонентів програмного забезпечення системи моніторингу та прогнозування стану рослин

Архітектура системи побудована за принципом розділення функціональних відповідальностей між логічними шарами. Польовий рівень формує первинний потік телеметрії, який обробляється сервером збору даних і зберігається в сховищі часових рядів. Далі аналітичний модуль виконує прогнозування та контроль параметрів з використанням машинного навчання, а результати відображаються в інтерактивній панелі користувача. Між усіма сервісами діє єдиний контур автентифікації та авторизації, що гарантує безпечний обмін даними.

Така структура дозволяє досягти узгодженості між потоками даних, алгоритмічним ядром і користувацьким середовищем, мінімізуючи надлишкові зв'язки та підвищуючи гнучкість системи. Компоненти функціонують

незалежно, взаємодіючи через чітко визначені API-контракти, що спрощує оновлення та повторне використання модулів у подальших версіях.

Зведена характеристика архітектури подана у табл. 2.3, де наведено ключові параметри взаємодії, що визначають стабільність і логічну цілісність системи.

Таблиця 2.3

Структурно-функціональні зв'язки компонентів системи

| Шар системи | Основна взаємодія | Призначення |
|----------------------------|---|---|
| Польовий (сенсорний) | Передача телеметрії до сервісу збору | Забезпечення безперервного потоку первинних даних |
| Сервісний (збір і обробка) | Парсинг, нормалізація, збереження у БД | Підготовка даних для аналітичних обчислень |
| Аналітичний (MLядро) | Читання часових рядів, прогноз, виявлення відхилень | Формування прогнозів та тригерів подій |
| Безпековий | Авторизація, контроль доступу, токени JWT | Захист запитів між клієнтами та сервісами |
| Користувацький | Запит прогнозів, перегляд статистики, аналітика | Інтерактивна взаємодія з аналітичними даними |

Результуюча архітектура відзначається логічною чистотою та балансом між автономністю і взаємозалежністю модулів, що дозволяє системі працювати стабільно при великих обсягах даних, підтримує оновлення аналітичних моделей без зупинки роботи та забезпечує високий рівень гнучкості для подальшої інтеграції з аграрними IoT-платформами.

2.4 Діаграма пакетів

Діаграма пакетів системи відображає логічну структуру програмного забезпечення, у межах якої реалізовано чітке розмежування функцій за рівнями відповідальності. Вона демонструє не лише організацію внутрішніх модулів, а й архітектурну ізолюваність логіки оброблення даних, аналітичних сервісів,

безпеки та інтерфейсної взаємодії, що є ключовою вимогою до інтелектуальних IoT-систем із розподіленою аналітикою.

На рис. 2.7 подано UML-діаграму пакетів, яка формалізує зв'язки між функціональними підсистемами та потоками взаємодії. Її структура базується на принципах слабкої зв'язності (low coupling) і високої внутрішньої узгодженості (high cohesion), що дозволяє незалежно розвивати та масштабувати кожен пакет без порушення загальної логіки системи.

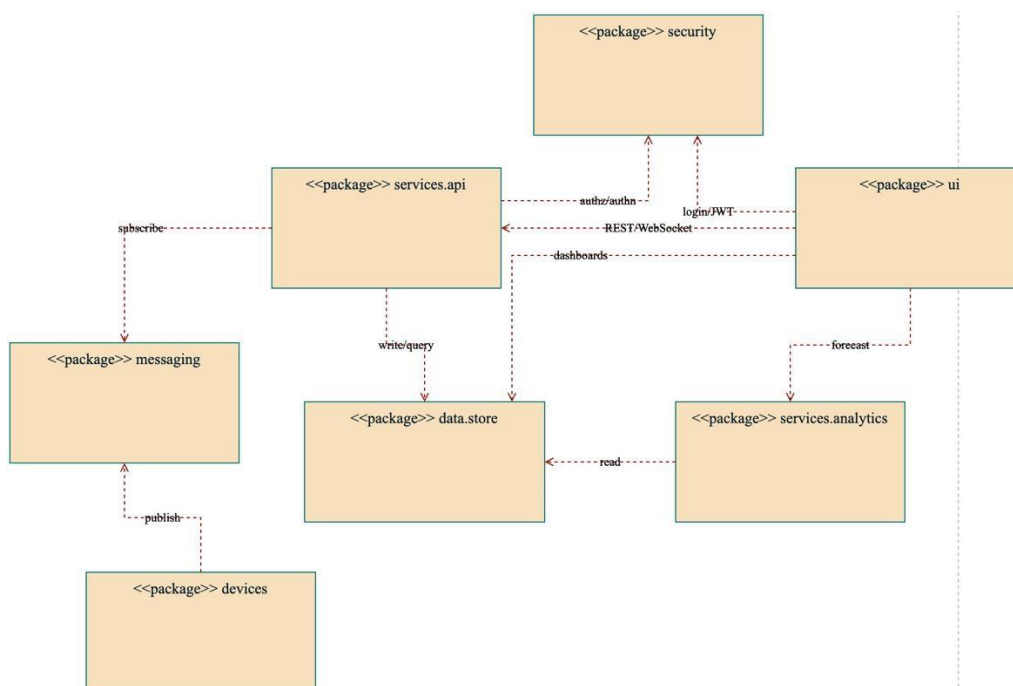


Рис. 2.7 Діаграма пакетів програмного забезпечення системи моніторингу та прогнозування стану рослин

Пакетна організація підтримує три базові напрями системної логіки:

- інформаційний потік - передача даних від сенсорних вузлів до сховища через єдиний API-контур;
- аналітичний контур - формування прогнозів і виявлення відхилень на основі часових рядів;
- керуючий рівень - валідація запитів, безпека доступу, візуалізація результатів у реальному часі.

Ключовим аспектом цієї моделі є функціональна нормалізація між шарами: сенсорна та транспортна підсистеми взаємодіють лише з API-рівнем, аналітичні модулі працюють безпосередньо з даними, а безпекові механізми контролюють автентифікацію незалежно від бізнес-логіки. Така організація забезпечує узгодженість усіх процесів - від збору телеметрії до аналітичного прогнозування та візуального представлення.

Семантичні зв'язки між пакетами узагальнено у табл. 2.4, де наведено основні напрями взаємодії між логічними блоками та їх роль у реалізації системної архітектури.

Таблиця 2.4

Взаємозв'язки пакетів та їх системні функції

| Рівень | Пакети взаємодії | Основне призначення |
|------------|---|---|
| Дані | devices → messaging → services.api → data.store | Передача, маршрутизація та збереження телеметрії |
| Аналітика | data.store ↔ services.analytics | Оброблення часових рядів, формування прогнозів |
| Керування | services.api ↔ security ↔ ui | Авторизація, обробка запитів, візуалізація результатів |
| Інтеграція | services.api ↔ all | Узгодження комунікації між рівнями через REST/WebSocket |

Запропонована структура відображає системну логіку розподіленої аналітичної платформи, у якій усі підсистеми пов'язані єдиним потоком даних, але залишаються незалежними у своїй реалізації. Це дає змогу реалізувати адаптивні оновлення, підключення нових сенсорних модулів і розширення аналітичного ядра без потреби змінювати існуючу архітектуру.

2.5 Висновки до другого розділу

У другому розділі було сформовано повну логіко-структурну модель інтелектуальної системи моніторингу та прогнозування стану рослин, що ґрунтується на поєднанні принципів об'єктно-орієнтованого моделювання та сервісно-орієнтованої архітектури. Побудовані UML-діаграми класів,

кооперацій, компонентів і пакетів забезпечили цілісне уявлення про взаємозв'язок функціональних, аналітичних і комунікаційних підсистем.

Завдяки структурній нормалізації, система отримала модульну архітектуру з чітким розподілом ролей між сенсорним, аналітичним, сервісним, безпековим і візуальним рівнями. Такий підхід гарантує узгоджене функціонування підсистем у режимі реального часу, підтримує розширюваність за рахунок незалежного масштабування компонентів і спрощує інтеграцію з зовнішніми джерелами агрометеорологічних даних.

Результати моделювання підтверджують ефективність застосування UML-інструментарію для проектування систем цього класу, оскільки він дозволяє забезпечити прозорість міжрівневих взаємодій, контроль потоків даних і формалізовану специфікацію інтерфейсів. Взаємодія між класами та пакетами побудована на основі принципів слабкої зв'язності та високої когерентності, що знижує ризик конфліктів між модулями при подальшій розробці та оновленні системи.

Отримана архітектурна модель визначає основу для реалізації програмного середовища, яке поєднує збір, збереження, оброблення та прогнозування аграрних даних із використанням сучасних методів машинного навчання, забезпечуючи стабільність, надійність і технологічну гнучкість майбутньої системи.

3 РЕАЛІЗАЦІЯ ПРОГРАМНОГО ЗАБЕЗПЕЧЕННЯ ТА

ТЕХНОЛОГІЧНА ІНФРАСТРУКТУРА СИСТЕМИ

3.1 Вибір технологій та інструментальних засобів реалізації системи

Розроблення інтелектуальної системи прогнозування та візуалізації стану рослин базується на концепції багаторівневої архітектури, у якій кожен рівень виконує автономну, але узгоджену функцію в загальному процесі збору, аналізу

й відображення даних. Сенсорна мережа відповідає за безперервний моніторинг параметрів довкілля (температура, вологість, освітленість, рН), шлюз здійснює агрегацію та передавання даних, а аналітична підсистема виконує статистичне узагальнення та прогнозування процесів росту. Такий підхід узгоджується з результатами теоретичних досліджень [1–5] і забезпечує баланс між точністю обчислень, продуктивністю системи та зручністю користувача.

Основною мовою програмування обрано Python, що забезпечує високу інтеграційність між аналітичними, статистичними й інтерфейсними компонентами системи. Вибір зумовлено широким спектром бібліотек для реалізації алгоритмів машинного навчання та аналізу часових рядів (NumPy, Pandas, Scikit-learn, TensorFlow, statsmodels), а також простотою взаємодії з базами даних і графічними інтерфейсами.

Для побудови десктопного користувацького інтерфейсу застосовано PyQt6, що дозволяє створити інтерактивну програмну оболонку з модульною структурою. Графічна форма реалізує навігацію між основними модулями - підключенням сенсорів, переглядом поточних параметрів, запуском прогнозування та генерацією звітів. Завдяки інтеграції з аналітичним ядром Python, інтерфейс забезпечує відображення результатів у реальному часі, що дозволяє користувачу аналізувати тренди й реагувати на відхилення показників без залучення зовнішніх сервісів.

Як внутрішнє сховище даних обрано SQLite, що поєднує простоту розгортання, мінімальні вимоги до ресурсів і достатню продуктивність для обробки локальних часових рядів. Його структура узгоджується з логічною моделлю системи: таблиці для сенсорних показників, прогнозних значень, параметрів моделей та журналу користувацьких дій. Така архітектура забезпечує цілісність даних і підтримує базові механізми транзакцій, що є критично важливими для достовірності вимірювань.

Результати аналітичних обчислень і прогностичних моделей виводяться у вигляді HTML-звітів, що генеруються локально засобами шаблонізації Python

(*Jinja2*). Така форма не є вебсайтом, а інтерактивним HTML-документом, який містить графіки, таблиці й текстові інтерпретації результатів моделювання. Це рішення дозволяє формувати звіти автономно, без підключення до мережі, що відповідає вимогам до польових застосувань системи.

Функціональні модулі системи охоплюють:

- збір даних із сенсорної мережі через стандартні протоколи UART/MQTT;
- агрегацію та попередню фільтрацію показників шлюзом;
- аналітичну обробку та прогнозування за допомогою моделей ARIMA, LSTM і Bi-LSTM, які виявляють коротко- та довгострокові залежності між кліматичними параметрами та станом рослин;
- виявлення аномалій на основі статистичних порогів і нормалізації z-score;
- візуалізацію та звітність через модулі PyQt6 і HTML-подання.

Таке технічне рішення дозволяє реалізувати замкнений цикл даних: від сенсорного вимірювання до прогнозу та представлення результатів у зручній формі, що робить систему незалежною від зовнішніх інтернет-сервісів і придатною для використання в локальних агроекосистемах.

Узагальнена структура обраних технологій наведена в табл. 3.1, що відображає їх роль у реалізації основних підсистем системи.

Таблиця 3.1

Вибір технологій та інструментальних засобів реалізації системи

| Компонент системи | Технології та інструменти | Призначення |
|-------------------|----------------------------------|---|
| Сенсорна мережа | ESP32, UART/MQTT, Python scripts | Збір і передавання даних про параметри довкілля |

| | | |
|---------------------------|--|--|
| Аналітичне ядро | Python, NumPy, Pandas, TensorFlow, statsmodels | Обробка часових рядів, прогнозування, виявлення аномалій |
| Локальне сховище | SQLite | Збереження вимірювань, прогнозів і параметрів моделей |
| Інтерфейс користувача | PyQt6 | Інтерактивна робота з даними, запуск аналізу, перегляд результатів |
| Візуалізація та звітність | Matplotlib, HTML + Jinja2 | Побудова графіків, формування HTML-звітів |
| Інтеграція сенсорів | PySerial, paho-mqtt | Обмін даними між вузлами та аналітичним ядром |
| Модуль безпеки | Python hashlib, TLS (для MQTT) | Шифрування та перевірка цілісності даних |

Обраний стек технологій забезпечує стабільну роботу системи в автономному режимі, підтримує аналітичні обчислення на локальному рівні, дає змогу генерувати структуровану звітність без підключення до мережі та повністю відповідає вимогам багаторівневої IoT-архітектури, визначеної у проведених теоретичних дослідженнях.

3.2 Архітектура системи та проектування функціоналу результатів дослідження

Архітектура побудована на основі багаторівневої IoT-моделі з інтелектуальною аналітикою, що поєднує сенсорну телеметрію, модулі прогнозування, сховище даних і систему метрик для комплексної оцінки достовірності результатів. Основою проектування стала концепція самоадаптивної кіберфізичної системи, у якій аналітичні модулі не лише прогнозують параметри середовища, а й формують показники якості, надійності та стабільності власних розрахунків.

На рис. 3.1 представлено архітектуру IoT-платформи системи, у якій виділено шість функціональних рівнів: сенсорний, комунікаційний, серверний,

рівень даних, аналітичний та рівень візуалізації. Сенсорна підсистема на базі ESP32 та датчиків температури, вологості, освітленості, кислотності (pH) формує первинні часові ряди, що передаються через брокер MQTT до серверного вузла. Сервер реалізує асинхронну маршрутизацію даних за допомогою FastAPI, а сховище базується на SQLite для локальних сценаріїв і TimescaleDB або InfluxDB для потокових задач.

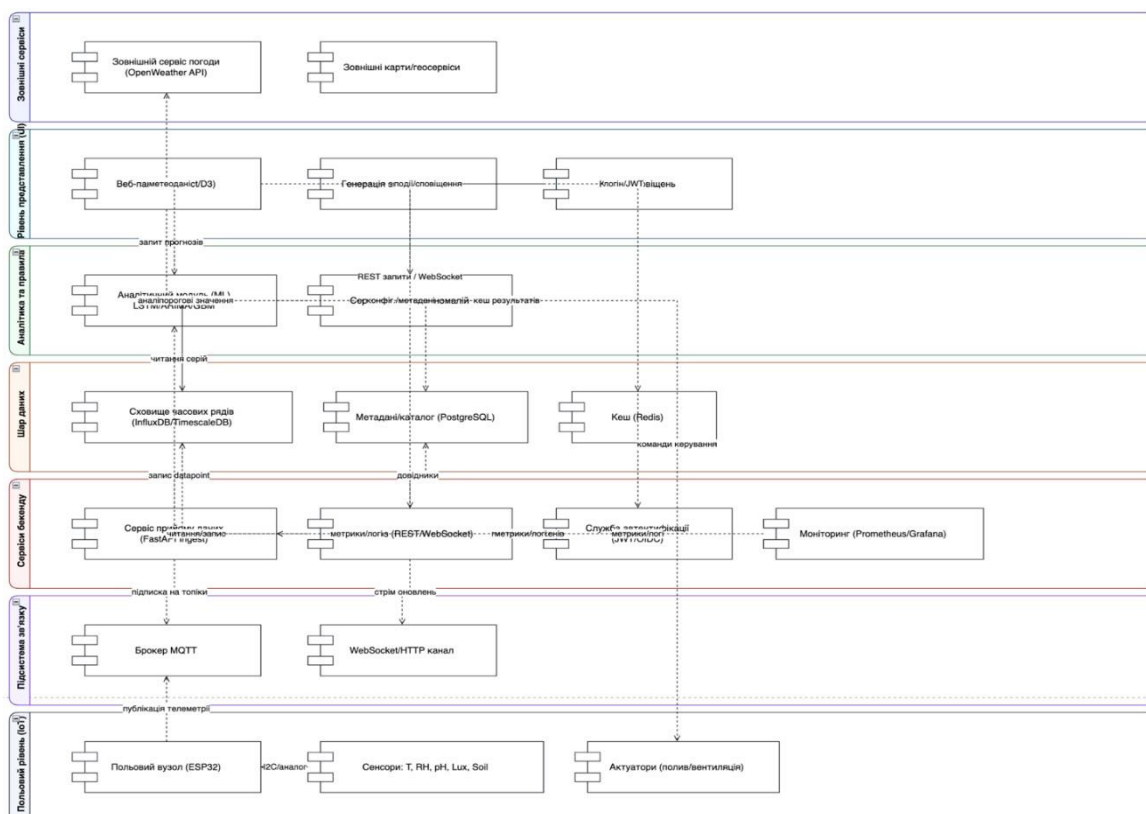


Рис. 3.1 Архітектура IoT-платформи збору, оброблення та прогнозування даних.

Аналітична частина системи (рис. 3.2) містить підсистему прогнозування та виявлення аномалій, що реалізує багатомодельний підхід: ARIMA для короткотермінових трендів, LSTM для довготривалих нелінійних залежностей та Vi-LSTM для розпізнавання прихованих патернів між кліматичними факторами. На цьому рівні реалізовано адаптивний зворотний зв'язок: результати прогнозу та аномалій автоматично перевіряються на достовірність за допомогою метричних індикаторів, після чого корегуються параметри моделі. Таким чином формується замкнений цикл самокорекції прогнозів і підвищення точності аналітичних рішень.

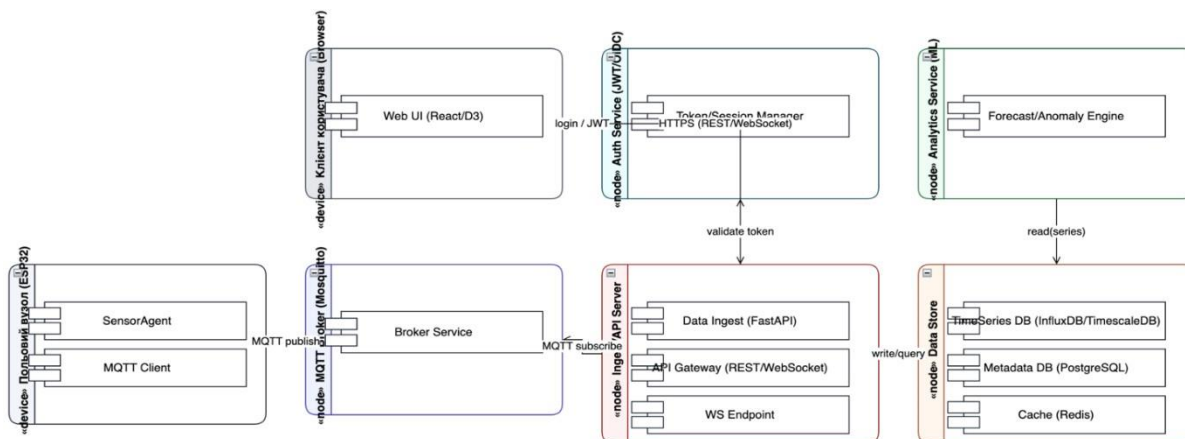


Рис. 3.2 Архітектура аналітичного рівня (діаграма компонентного розгортання прогнозування та контролю аномалій)

Наукова новизна дослідження полягає у створенні унікальної підсистеми оцінювання метричних характеристик, яка дозволяє не лише аналізувати точність прогнозу, а й кількісно оцінювати якість даних, надійність моделі та стабільність усієї системи. Структуру цієї підсистеми показано на рис. 3.3. Вона містить чотири основні модулі:

- **DataQualityExtractor** – оцінює пропуски, дрейф і шум у сенсорних даних;
- **ForecastMetrics** – розраховує похибки прогнозів (MAE, RMSE, R^2);
- **AnomalyMetrics** – визначає ступінь відхилень (z-score, EWMA, IQR);
- **OperationalMetrics** – оцінює продуктивність системи (latency, throughput).

Отримані показники надходять до **Metric Registry (SQLite)**, де формуються інтегральні індекси: **PHI (Plant Health Index)** – здоров'я рослин; **MR (Model Reliability)** – стійкість прогновної моделі; **DQ (Data Quality)** – якість даних; **AS (Anomaly Severity)** – рівень відхилень; **OPS (Operational Stability)** – стабільність роботи системи. Ці метрики візуалізуються через **PyQt6**-дашборди та **HTML**звіти, що дозволяє оператору оцінювати не лише стан культур, а й надійність самої системи в реальному часі.

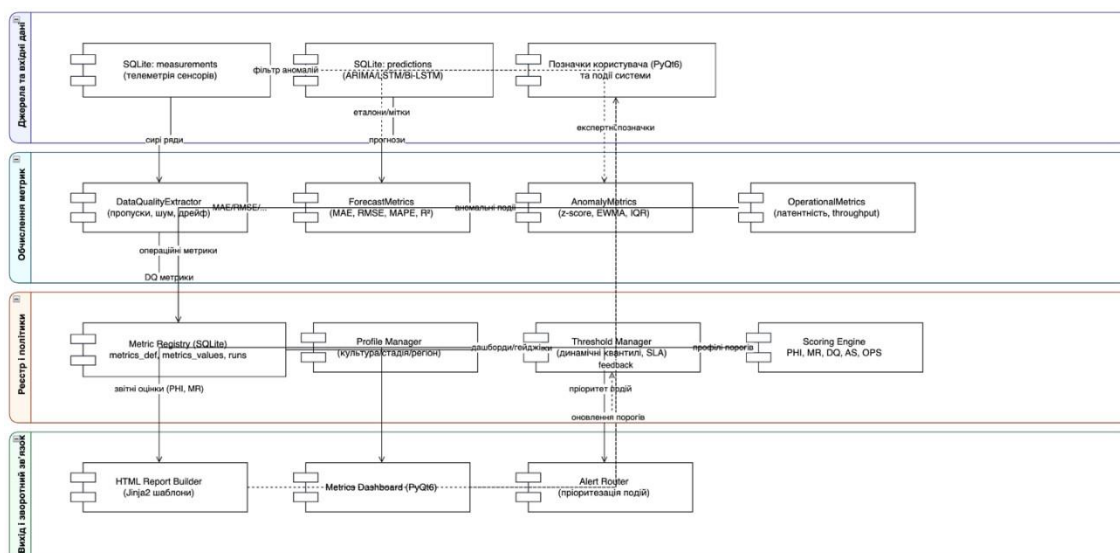


Рис. 3.3 Архітектура підсистеми метричного оцінювання та інтегральних індексів

Проектування функціоналу реалізовано відповідно до проведених теоретичних досліджень і базується на принципах модульності, адаптивності та метричної рефлексії. Основні технічні інновації подано в таблиці 3.2.

Таблиця 3.2

Технічні аспекти наукової новизни реалізованої системи

| № | Аспект упровадження | Суть новизни | Технічна реалізація |
|---|-----------------------------------|--|---|
| 1 | Метрична самоперевірка | Система автоматично оцінює точність і стабільність власних прогнозів | Підсистема Metric Registry + Score Engine |
| 2 | Динамічне керування порогами | Адаптація порогових значень на основі квантильного аналізу | Threshold Manager (SLA policies) |
| 3 | Контекстне профілювання | Розрахунок метрик з урахуванням культури, фази росту й регіону | Profile Manager + контекстні профілі |
| 4 | Замкнений цикл зворотного зв'язку | Метричні показники впливають на параметри аналітичної моделі | Feedback-механізм у Scoring Engine |
| 5 | Інтегрована звітність | Формування HTML-звітів і PyQt6-дашбордів без зовнішніх сервісів | HTML Report Builder (Jinja2) + PyQt6 UI |

Запропонована архітектура (рис. 3.1–3.3) забезпечує когнітивну узгодженість між сенсорним рівнем і аналітичним ядром: система не лише прогнозує параметри середовища, а й динамічно оцінює власну ефективність. Це дозволяє перейти від класичної моделі «збір - аналіз - звіт» до парадигми самонавчальної кіберфізичної системи, у якій метрики виступають критерієм достовірності та тригером адаптації. Така архітектура є результатом проведеного дослідження і становить практичну реалізацію теоретичних принципів адаптивного управління станом рослин у реальному часі [1–5].

3.3 Інформаційна база системи

Інформаційна база розробленої експертної системи ідентифікації стану рослин сформована за принципами реляційної нормалізації та багатовимірного моделювання даних. Основу складає фактична таблиця TelemetryFact, у якій накопичуються показники телеметрії та результати прогнозів моделей глибинного навчання. Згідно з концепцією зірчастої схем (рис. 3.4), усі вимірні атрибути зберігаються у довідниках - SensorDim, ModelDim, DateDim, LocationDim, що забезпечує семантичну узгодженість і можливість багаторівневого аналітичного агрегування [1].

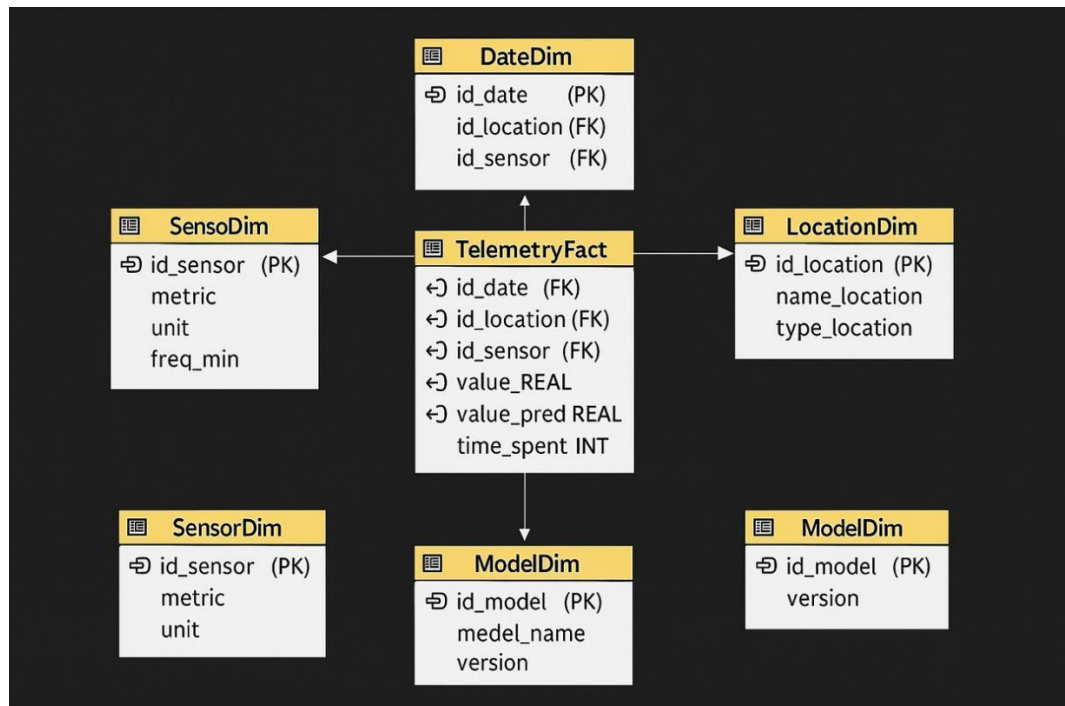


Рис. 3.4 Модель даних інформаційної бази системи (зірчаста схема)

На основі цієї структури реалізовано аналітичні запити до SQLite-сховища, що дозволяють проводити оцінку стану культур, аналіз ефективності моделей та відстеження аномалій у часових рядах. На рис. 3.5 показано приклад SQL-запиту для розрахунку середньої вологості ґрунту за останні 7 днів, який виконується у модулі *DataQualityExtractor* і забезпечує побудову трендових графіків у PyQtбінтерфейсі.

```

SELECT
    d.year, d.month, d.day,
    AVG(f.value) AS avg_soil_moisture
FROM TelemetryFact f
JOIN SensorDim s ON f.id_sensor = s.id_sensor
JOIN DateDim d ON f.id_date = d.id_date
WHERE s.metric = 'soil_moisture'
    AND d.id_date >= DATE('now', '-7 day')
GROUP BY d.year, d.month, d.day
ORDER BY d.id_date;
  
```

Рис. 3.5 SQL-запит розрахунку середньої вологості ґрунту за останні 7 днів

Для оцінки точності прогнозів реалізовано запит (рис. 3.6), що визначає середню абсолютну похибку (*MAE*) моделі LSTM_v2 у межах кожного регіону. Отримані дані використовуються у модулі ForecastMetrics для побудови аналітичних звітів про якість прогнозування та адаптивного коригування параметрів моделі.

```
SELECT
    m.model_name,
    l.name_location,
    ROUND(AVG(ABS(f.value_pred - f.value)), 3) AS MAE
FROM TelemetryFact f
JOIN ModelDim m ON f.id_model = m.id_model
JOIN LocationDim l ON f.id_location = l.id_location
WHERE m.model_name = 'LSTM_v2'
GROUP BY m.model_name, l.name_location
ORDER BY MAE ASC;
```

Рис. 3.6 SQL-запит для оцінювання середньої абсолютної похибки моделі прогнозування

Формування щомісячного індексу стану рослин - Plant Health Index (PHI) реалізовано за допомогою агрегуючого запиту (рис. 3.7), що обчислює відсоток періодів із позитивним прогнозом. Ці результати слугують основою для побудови інтерактивних звітів у форматі HTML, що формуються шаблонами Jinja і відображаються у звіті користувача системи.

```
SELECT
    l.name_location,
    d.year,
    d.month,
    SUM(CASE WHEN f.value_pred > f.value THEN 1 ELSE 0 END)*100.0 / COUNT(*) AS PHI_percent
FROM TelemetryFact f
JOIN DateDim d ON f.id_date = d.id_date
JOIN LocationDim l ON f.id_location = l.id_location
WHERE d.year = STRFTIME('%Y', 'now')
GROUP BY l.name_location, d.year, d.month
ORDER BY PHI_percent DESC;
```

Рис. 3.7 SQL-запит формування щомісячного індексу PHI за результатами аналізу прогнозів

Для порівняльного аналізу моделей застосовується запит (рис. 3.8), який оцінює стабільність прогнозів за стандартним відхиленням похибки (OPS –

Operational Prediction Stability). Отримані результати інтегруються з модулем *ThresholdManager*, який автоматично оновлює пороги чутливості системи для кожного сенсорного каналу.

```
SELECT
  m.model_name,
  ROUND(STDDEV(f.value_pred - f.value), 4) AS prediction_stability,
  COUNT(*) AS samples
FROM TelemetryFact f
JOIN ModelDim m ON f.id_model = m.id_model
JOIN DateDim d ON f.id_date = d.id_date
WHERE d.id_date >= DATE('now', '-7 day')
GROUP BY m.model_name
ORDER BY prediction_stability;
```

Рис. 3.8 SQL-запит визначення стабільності прогнозів моделей за останній тиждень

У процесі дослідження також виконано кластеризацію агрометричних даних за показниками вологості ґрунту (*soil_moisture*) та індексу листкової поверхні (*leaf_index*), що дозволило виокремити три типи станів культур - нормальний, передстресовий та стресовий (рис. 3.9).

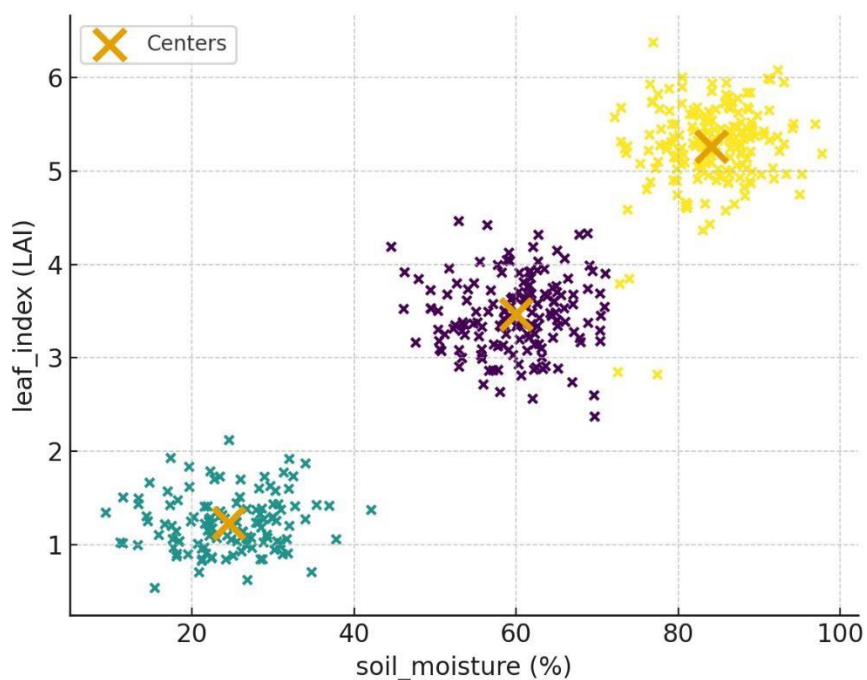


Рис. 3.9 Результат кластеризації агрометричних даних методом *k-means* Оптимальна кількість кластерів визначена за допомогою методу ліктя (рис. 3.10), що

забезпечило мінімізацію інерції розподілу та підвищення достовірності сегментації екологічних умов.

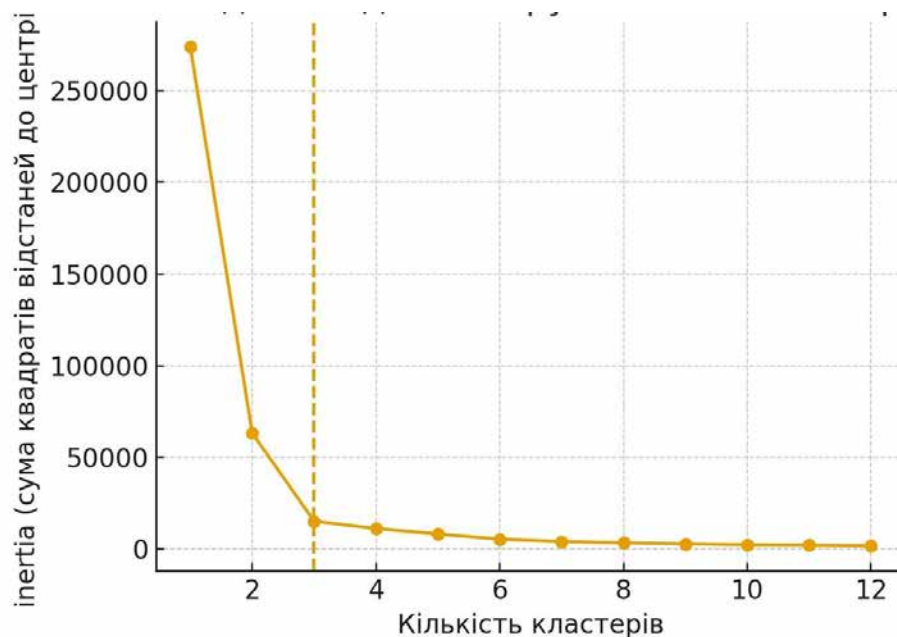


Рис. 3.10 Визначення оптимальної кількості кластерів методом ліктя

Інформаційна база системи реалізує інтеграцію сенсорних, аналітичних та прогнозних даних у єдиному середовищі з можливістю OLAP-аналізу, адаптивного управління порогами та формування звітності в реальному часі. Це забезпечує високий рівень узгодженості між підсистемами збору, моделювання та візуалізації, що є критичним для функціонування інтелектуальних агроєкосистем.

3.4 Алгоритмізація модулів системи

Алгоритмізація модулів інформаційної системи інтерактивної візуалізації та обміну даними про стан розвитку рослин охоплює побудову взаємопов'язаних процесів аналітичної обробки, прогнозування та оцінювання якості даних, отриманих від сенсорної мережі. Система реалізує послідовний конвеєр оброблення: кластеризація агрометричних показників, прогнозування часових рядів за допомогою нейромережових моделей, формування інтегрального індексу РНІ, а також оновлення візуалізаційних компонентів PyQt6 і HTMLзвіту. Кожен

модуль реалізований у вигляді окремого алгоритму з власними етапами обчислення та взаємодією з базою SQLite.

Перший модуль забезпечує кластеризацію агропоказників методом KMeans. Алгоритм передбачає завантаження сирих даних із бази SQLite, нормалізацію ознак (z-score), вибір оптимальної кількості кластерів методом «лікоть» та ітераційне оновлення центрів кластерів до збіжності. Отримані групи відображають типові стани розвитку культур, що використовуються для подальшого аналізу та прогнозування. На рис. 3.11 показано блок-схему алгоритму кластеризації, який формує аналітичну основу системи.

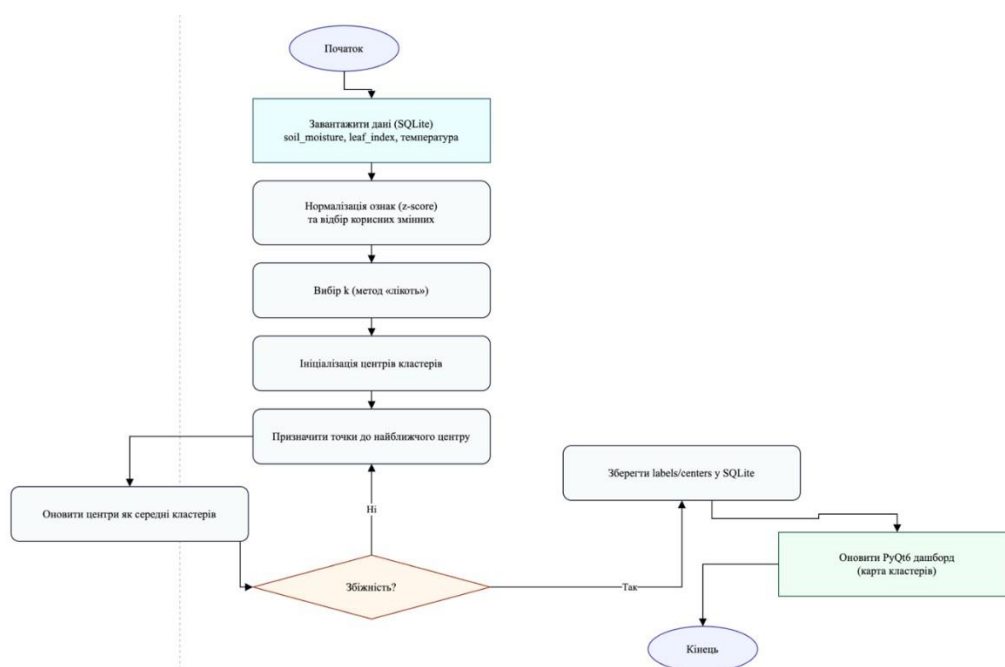


Рис. 3.11 Алгоритм модуля кластеризації агропоказників методом K-Means

Для реалізації цього модуля використовується код на Python, який виконує вибірку з бази TelemetryFact, агрегує показники вологості та індексу листкової поверхні, нормалізує дані та виконує навчання моделі KMeans з фіксованим числом кластерів. Результати зберігаються у таблиці Clusters для подальшої візуалізації у PyQt6. На рис. 3.12 наведено фрагмент програмної реалізації цього алгоритму, який забезпечує інтеграцію кластеризації з інформаційною базою системи.

```

with sqlite3.connect(DB) as cn:
    df = pd.read_sql_query("""
        SELECT d.year, d.month, d.day, l.id_location, s.metric, f.value
        FROM TelemetryFact f
        JOIN SensorDim s ON f.id_sensor = s.id_sensor
        JOIN LocationDim l ON f.id_location = l.id_location
        JOIN DateDim d ON f.id_date = d.id_date
        WHERE s.metric IN ('soil_moisture', 'leaf_index')
        """, cn)

df["date"] = pd.to_datetime(df[["year", "month", "day"]])
Xw = (df.pivot_table(index=["date", "id_location"], columns="metric",
                    values="value", aggfunc="mean")
      .dropna()[["soil_moisture", "leaf_index"]])

sc = StandardScaler()
Z = sc.fit_transform(Xw.values)

km = KMeans(n_clusters=3, n_init=10, random_state=42).fit(Z)
out = Xw.reset_index()[["date", "id_location"]].assign(cluster=km.labels_)

with sqlite3.connect(DB) as cn:
    out.to_sql("Clusters", cn, if_exists="replace", index=False)

```

Рис. 3.12 Фрагмент коду реалізації модуля кластеризації даних

Другий модуль відповідає за прогнозування динаміки агрометричних параметрів на основі нейронної мережі LSTM (Long Short-Term Memory). Алгоритм включає завантаження часових рядів, масштабування (MinMaxScaler), формування вікон спостережень, навчання моделі з механізмом EarlyStopping для уникнення перенавчання та генерацію прогнозів на горизонті Δ . Після оцінки якості (MAE, RMSE, R^2) результати записуються у базу даних, що дозволяє автоматично оновлювати аналітичні панелі та HTML-звіти. На рис. 3.13 подано блок-схему алгоритму LSTM-прогнозування.

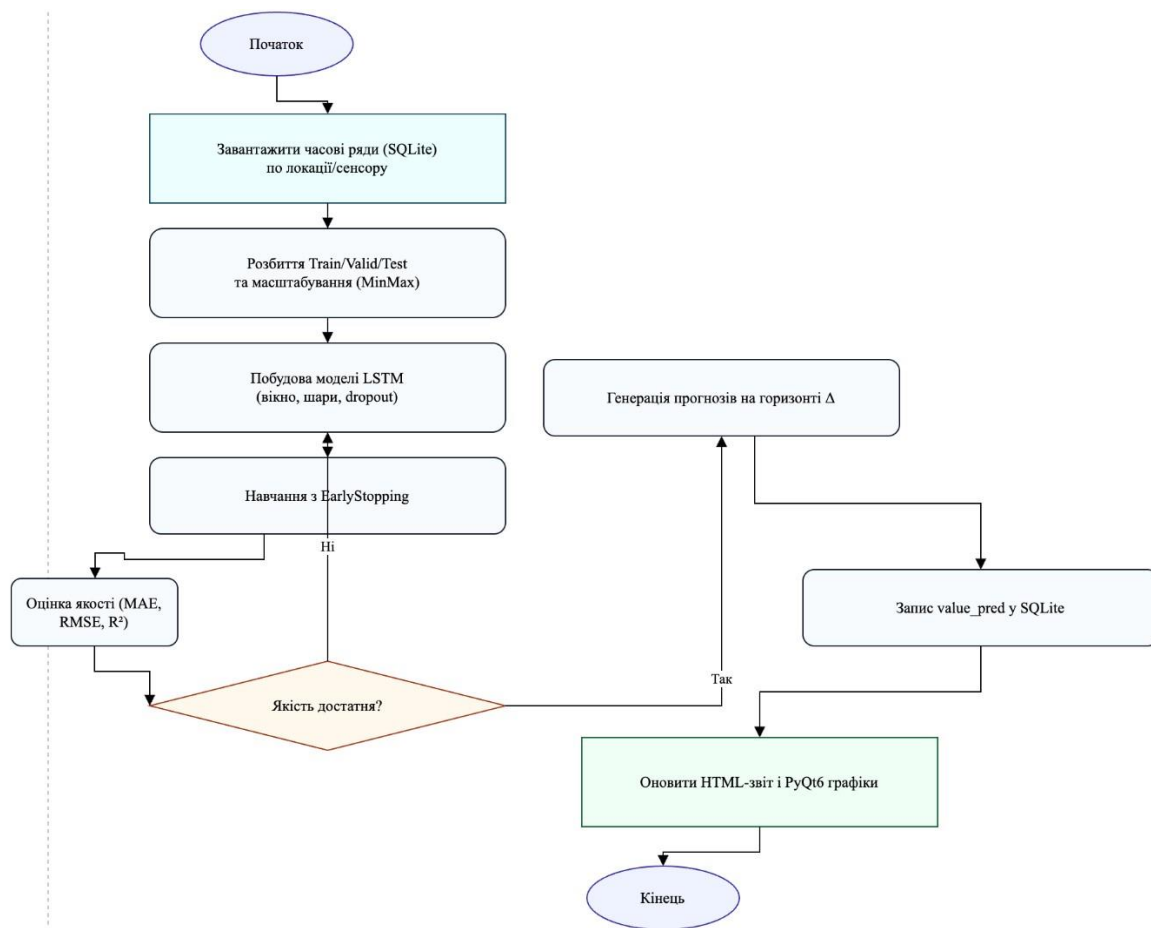


Рис. 3.13 Алгоритм модуля прогнозування часових рядів агропараметрів (LSTM)

На рис. 3.14 показано програмну реалізацію цього алгоритму на Python. Код ілюструє етапи побудови моделі Sequential LSTM, створення вікон даних, навчання з використанням оптимізатора Adam і функції втрат MSE, а також оновлення таблиці TelemetryFact із полем value_pred. Таким чином, система забезпечує безперервний цикл оновлення прогнозів та інтеграцію їх у єдину базу даних.

```

✓ with sqlite3.connect(DB) as cn:
    ts = pd.read_sql_query(SENS_Q, cn, params=(METRIC, LOC_ID))
    Click to collapse the range. time(ts[["year", "month", "day"]])
    y = ts["value"].astype(float).values.reshape(-1,1)

    sc = MinMaxScaler()
    y_sc = sc.fit_transform(y)

✓ def make_windows(a, win=24):
    X, Y = [], []
    for i in range(len(a)-win):
        X.append(a[i:i+win]); Y.append(a[i+win])
    return np.array(X), np.array(Y)

WIN = 24
X, Y = make_windows(y_sc, WIN)
split = int(len(X)*0.8)
Xtr, Ytr, Xte, Yte = X[:split], Y[:split], X[split:], Y[split:]

model = Sequential([LSTM(32, input_shape=(WIN,1)), Dense(1)])
model.compile(optimizer="adam", loss="mse")
✓ model.fit(Xtr, Ytr, epochs=20, batch_size=32,
            validation_data=(Xte, Yte),
            callbacks=[EarlyStopping(patience=3, restore_best_weights=True)],
            verbose=0)

y_hat_sc = model.predict(Xte, verbose=0)
y_hat = sc.inverse_transform(y_hat_sc).ravel()

# оновимо value_pred для відповідних точок тестового відрізка
idx_ids = ts["id_date"].values[WIN+split:WIN+split+len(y_hat)]
rows = [(float(v), int(d), int(LOC_ID), METRIC) for v, d in zip(y_hat, idx_ids)]

✓ with sqlite3.connect(DB) as cn:
    # знайдемо конкретний sensor_id за metric
    ✓ sid = pd.read_sql_query("SELECT id_sensor FROM SensorDim WHERE metric=?",
                             cn, params=(METRIC,)).iloc[0,0]
    ✓ cn.executemany("""
        UPDATE TelemetryFact
        SET value_pred = ?
        WHERE id_date = ? AND id_location = ? AND id_sensor = ?;
        """, [(v, d, LOC_ID, int(sid)) for v,d,_,_ in rows])

```

Рис. 3.14 Фрагмент коду реалізації модуля прогнозування LSTM

Третій модуль системи виконує розрахунок інтегрального індексу РНІ (Plant Health Index) - ключового показника, що характеризує якість і стабільність розвитку рослин. Алгоритм порівнює фактичні та прогнозні ряди, обчислює відносну похибку й визначає частку прогнозів, що задовольняють заданий поріг похибки ϵ (15 %). Отримані результати агрегуються за періодом і локацією, після чого зберігаються у таблиці РНІ_Monthly для подальшої візуалізації. На рис. 3.15

зображено алгоритм розрахунку РНІ, який узагальнює аналітичну оцінку точності прогнозування в системі.

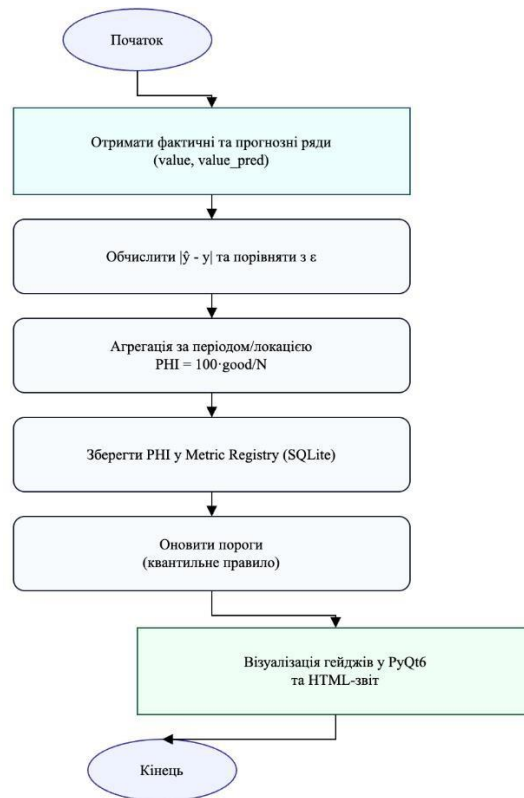


Рис. 3.15 Алгоритм модуля обчислення інтегрального індексу РНІ (Plant Health Index)

На рис. 3.16 подано фрагмент програмної реалізації розрахунку РНІ. Код демонструє логіку обчислення відносної похибки між `value` та `value_pred`, застосування порогу ϵ , підрахунок частки коректних прогнозів і запис результатів до бази даних. Реалізована методика дозволяє здійснювати аналітичну перевірку прогнозів і автоматичне оновлення порогів за квантильним правилом, що підвищує адаптивність системи.

```

DB = "plant_system.db"
EPS = 0.15 # допустиме відносне відхилення (15%)

with sqlite3.connect(DB) as cn:
    df = pd.read_sql_query("""
        SELECT l.id_location, l.name_location, d.year, d.month,
               f.value, f.value_pred
        FROM TelemetryFact f
        JOIN LocationDim l ON f.id_location=l.id_location
        JOIN DateDim d     ON f.id_date=d.id_date
        WHERE f.value_pred IS NOT NULL
        """, cn)

    def ok(row):
        if row.value == 0 or pd.isna(row.value_pred): return False
        rel_err = abs(row.value_pred - row.value)/abs(row.value)
        return rel_err < EPS

    df["ok"] = df.apply(ok, axis=1)
    phi = (df.groupby(["id_location", "name_location", "year", "month"])["ok"]
           .mean()
           .mul(100)
           .reset_index()
           .rename(columns={"ok": "PHI_percent"}))

with sqlite3.connect(DB) as cn:
    phi.to_sql("PHI_Monthly", cn, if_exists="replace", index=False)

```

Рис. 3.16 Фрагмент коду реалізації модуля розрахунку індексу РНІ

Отже, у результаті алгоритмізації створено три взаємопов'язані модулі - кластеризації, прогнозування та оцінки стану рослин, які спільно забезпечують безперервний цикл збору, аналізу, прогнозування та візуалізації даних. Система реалізує повноцінну модель “data-driven monitoring” у галузі агроінформатики, що дозволяє формувати науково обґрунтовані рекомендації, оперативно виявляти відхилення у розвитку культур і підвищувати ефективність прийняття рішень.

3.5 Висновки до третього розділу

У третьому розділі виконано практичну реалізацію концепції інформаційної системи інтерактивної візуалізації та обміну даними про стан розвитку рослин. Було проведено вибір і обґрунтування технологій реалізації, побудовано архітектуру системи, спроектовано інформаційну базу, розроблено алгоритми ключових модулів і створено програмні засоби для кластеризації, прогнозування та оцінки якості даних.

На основі аналізу вимог та характеристик предметної області обрано оптимальний стек технологій: Python (аналітична логіка, ML-моделі, робота з SQLite), PyQt6 (інтерактивний інтерфейс), SQLite (локальна база даних), NumPy/Pandas/Matplotlib (оброблення та візуалізація даних). Запропонована архітектура побудована за принципом модульної інтеграції, що забезпечує незалежність компонентів і можливість подальшого масштабування системи.

Інформаційна база системи реалізована у вигляді зіркоподібної схеми (*star schema*), що складається з таблиці фактів *TelemetryFact* і вимірів (*SensorDim*, *LocationDim*, *DateDim*, *ModelDim*). Така структура дає змогу ефективно зберігати й аналізувати великі обсяги часових даних від сенсорів, а також інтегрувати результати машинного навчання у вигляді прогностичних рядів.

Розроблено три ключові алгоритмічні модулі:

1. модуль кластеризації K-Means - виконує групування агрометричних даних за подібністю, виявляючи характерні стани розвитку культур.

2. Модуль прогнозування LSTM - реалізує інтелектуальне передбачення параметрів рослинності за часовими рядами з використанням рекурентних нейронних мереж.

3. Модуль оцінки РНІ (Plant Health Index) - здійснює інтегральну перевірку точності прогнозів та розрахунок показника стабільності розвитку рослин із подальшою візуалізацією у вигляді гейджів.

Запропонована система реалізує замкнений аналітичний цикл - від збору сенсорних даних до їх науково-обґрунтованої інтерпретації, формуючи прозору та адаптивну платформу для моніторингу агроecosystem. Розроблені алгоритми забезпечують автоматизацію ключових процесів оброблення інформації, підвищують достовірність аналітичних висновків та створюють передумови для впровадження системи в реальних умовах польових досліджень.

4 ТЕСТУВАННЯ ТА ОЦІНЮВАННЯ ЕФЕКТИВНОСТІ СИСТЕМИ

4.1 План тестування програмних модулів та методика оцінювання результатів

План тестування програмних модулів інтелектуальної системи моніторингу та прогнозування стану рослин побудований відповідно до вимог, визначених у попередніх розділах, та базується на комплексному підході, що охоплює функціональні, інтеграційні, аналітичні та продуктивні аспекти роботи системи. Тестування здійснюється поетапно для кожного компонента архітектури: сенсорного рівня, сервісу збору даних, аналітичного ядра, підсистеми метричного оцінювання, інтерфейсу PyQt6 та модуля формування HTML-звітів. Методика охоплює як процедурні, так і метричні критерії контролю якості, що дозволяє оцінити не лише коректність виконання функцій, а й стабільність моделей прогнозування, надійність оброблення потоків телеметрії та повноту виявлення аномалій у даних.

На основі аналізу архітектурної моделі сформовано план тестування, який включає одиничні тести модулів, перевірку інтеграційних сценаріїв MQTT/REST-комунікацій, тестування аналітичних моделей (ARIMA, LSTM, BiLSTM), валідність роботи механізмів DataQualityExtractor та ForecastMetrics, а також оцінювання показників продуктивності (latency, throughput) при різних обсягах вхідних даних. Структурований перелік тестових процедур подано у табл. 4.1, яка визначає ціль тесту, вхідні дані, очікуваний результат та критерії приймання.

Таблиця 4.1

План тестування програмних модулів системи

| № | Модуль / функція | Вхідні дані | Очікуваний результат | Критерії приймання |
|---|------------------|-------------|----------------------|--------------------|
| 1 | 2 | 3 | 4 | 5 |

| | | | | |
|---|--------------------------------------|--|---------------------------------|---|
| 1 | Приймання телеметрії DataIngestor | MQTT-потік сенсорних значень (Т, Н, рН, LUX) | Коректний парсинг та запис у БД | $\leq 1\%$ втрат пакетів; відсутність помилок формату |
|---|--------------------------------------|--|---------------------------------|---|

Продовження таблиці 4.1

| 1 | 2 | 3 | 4 | 5 |
|---|---------------------------------------|------------------------------|--|---|
| 2 | Очищення даних та валідація | Набір з шумами та пропусками | Формування очищеного ряду | MAE очищення ≤ 0.5 ; видалення аномалій $\geq 95\%$ |
| 3 | Аналітичні моделі прогнозування | Часові ряди Т/Н/рН | Прогноз на Δt з оцінкою точності | RMSE \leq нормативних меж; стабільність моделей |
| 4 | Виявлення аномалій AlertService | Набори з відхиленнями | Позначення аномалій та їх рівня | Recall $\geq 90\%$; FPR $\leq 5\%$ |
| 5 | Модуль метрик DataQualityExtractor | Повний сенсорний лог | PHI, MR, DQ, AS, OPS | Значення індексів відповідають формальним визначенням |
| 6 | Формування HTML-звіту | Дані БД та графіки | Побудова файлу <i>.html</i> | Відсутність розривів стилів; коректна візуалізація |
| 7 | Інтерфейс PyQt6 | Події UI, вхідні дані | Відображення графіків, прогнозів, звітів | UI-latency ≤ 200 мс; стабільність роботи $\geq 99.5\%$ |

Методика оцінювання результатів тестування ґрунтується на комбінації кількісних та якісних показників. До кількісних належать метричні критерії точності прогнозу (MAE, RMSE, R^2), продуктивності системи (latency, throughput), стабільності моделей (Model Reliability), а також показники якості даних (Data Quality Index) та ступеня відхилень (Anomaly Severity). Якісні критерії передбачають контроль коректності функціонування інтерфейсу, цілісності логічних зв'язків між модулями, відсутності збоїв при потоковому

прийманні даних та відповідності поведінки системи вимогам, встановленим у специфікації.

Проведення тестування завершується формуванням підсумкових відомостей, у яких зазначаються фактичні значення усіх метричних показників, статус проходження тестів та висновки щодо надійності системи. Отримані результати є основою для перевірки відповідності розробленого програмного забезпечення функціональним, нефункціональним і технічним вимогам, що забезпечує комплексну оцінку його готовності до роботи в реальних умовах агромоніторингу.

4.2 Тестування інтелектуальної системи моніторингу та прогнозування стану рослин

Тестування інтелектуальної системи моніторингу та прогнозування стану рослин виконувалося з метою перевірки коректності роботи модулів збору телеметрії, оброблення потокових даних, аналітичного ядра, OLAP-компонентів, моделей кластеризації та прогнозування, а також інтерфейсних засобів візуалізації. У процесі тестування застосовано функціональний та сценарний підхід, що дозволив оцінити поведінку системи в реальних умовах надходження сенсорних даних із різною частотою, затримкою та наявністю аномальних вимірювань. На рис. 4.1 наведено головний екран системи, який використовувався під час тестування відображення агрегованих мікрокліматичних показників і стану сенсорних вузлів.

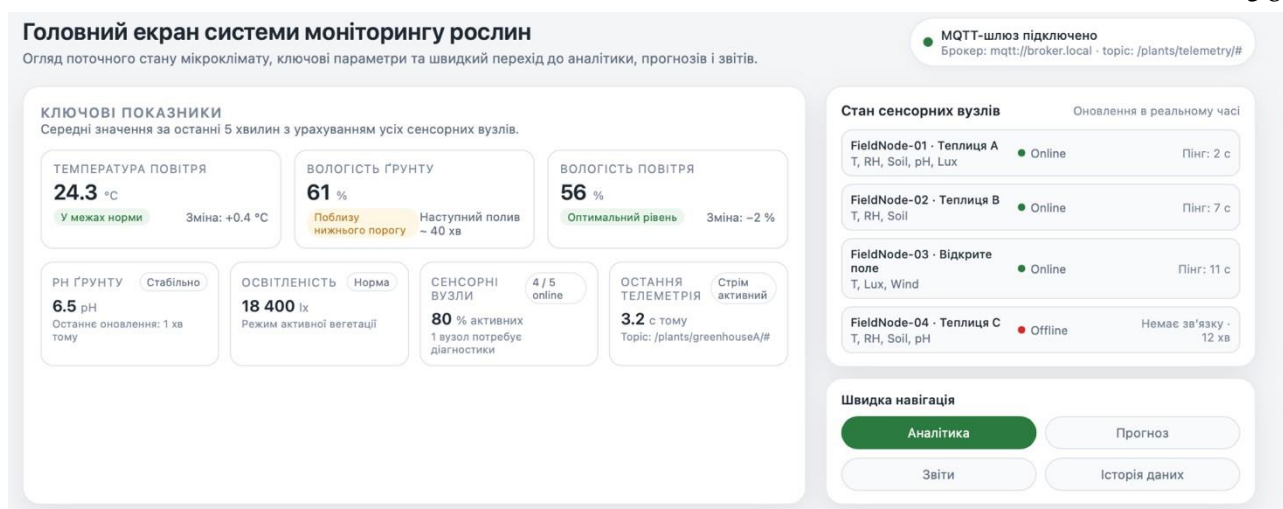


Рис. 4.1 Головний екран системи моніторингу рослин під час тестування

Під час тестування головного інтерфейсу перевірено коректність обчислення середніх значень за останні 5 хвилин, роботу індикаторів «межа норми», «поблизу нижнього порогу» та «оптимальний рівень», актуалізацію статусів сенсорних вузлів (online/offline), а також реакцію інтерфейсу на втрату зв'язку на інтервалі до 15 хвилин. Система коректно оновлювала параметри в режимі реального часу, а значення з вузлів синхронно відображалися у відповідних блоках. Також було протестовано стабільність роботи при поступовому збільшенні кількості підключених вузлів та швидкості надходження даних.

Для оцінки потокової обробки було виконано тестування екрана поточної телеметрії, наведене на рис. 4.2. Перевірено роботу механізму побудови часових рядів для температури, вологості, рН та освітленості в інтервалі останніх 10–12 вимірювань. Окремо перевірено коректність підсвічування аномальних значень, синхронізацію часу вимірювань, формування таблиці останніх записів і відображення подій типу «пропуски вимірювань» або «вихід за межі діапазону». Під час стрес-тестів зі збільшенням частоти надходження вимірювань система правильно інтерпретувала структуру даних, а пропускна здатність залишалася на рівні, достатньому для безперервної візуалізації.

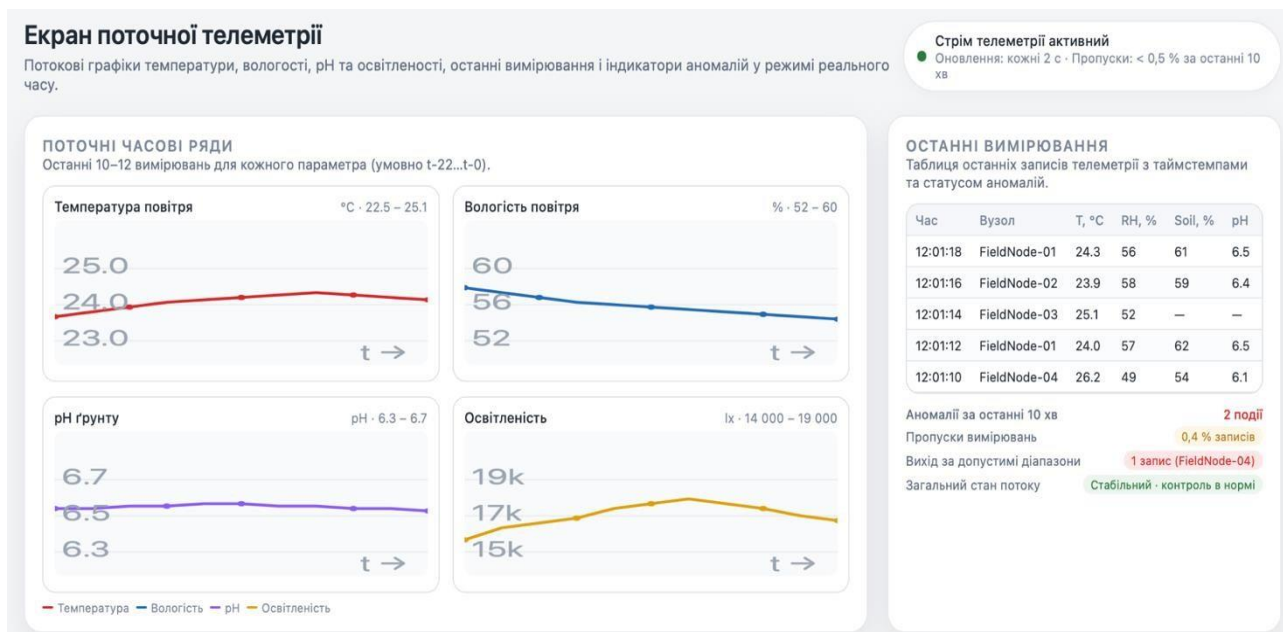


Рис. 4.2 Екран поточної телеметрії при тестуванні потокового оброблення даних

Тестування аналітичного модуля включало перевірку роботи OLAP-куба, механізмів агрегування (Slice, Dice, Drill-down), оновлення індексу стану рослини (PHI), а також валідність роботи модулів кластеризації K-means та PCAпроекції. На рис. 4.3 наведено фрагмент тестування аналітичного екрана, у межах якого перевірено точність обчислення агрегованих показників за теплицями, коректність вибору оптимальної кількості кластерів методом ліктя та побудову кластерних метрик (силуетний коефіцієнт, розмір кластерів, середній PHI).

Отримані результати підтвердили, що аналітична складова системи коректно працює з даними різної періодичності та об'єму, а обчислені рекомендаційні показники можуть бути використані для виявлення зон ризику деградації мікроклімату.

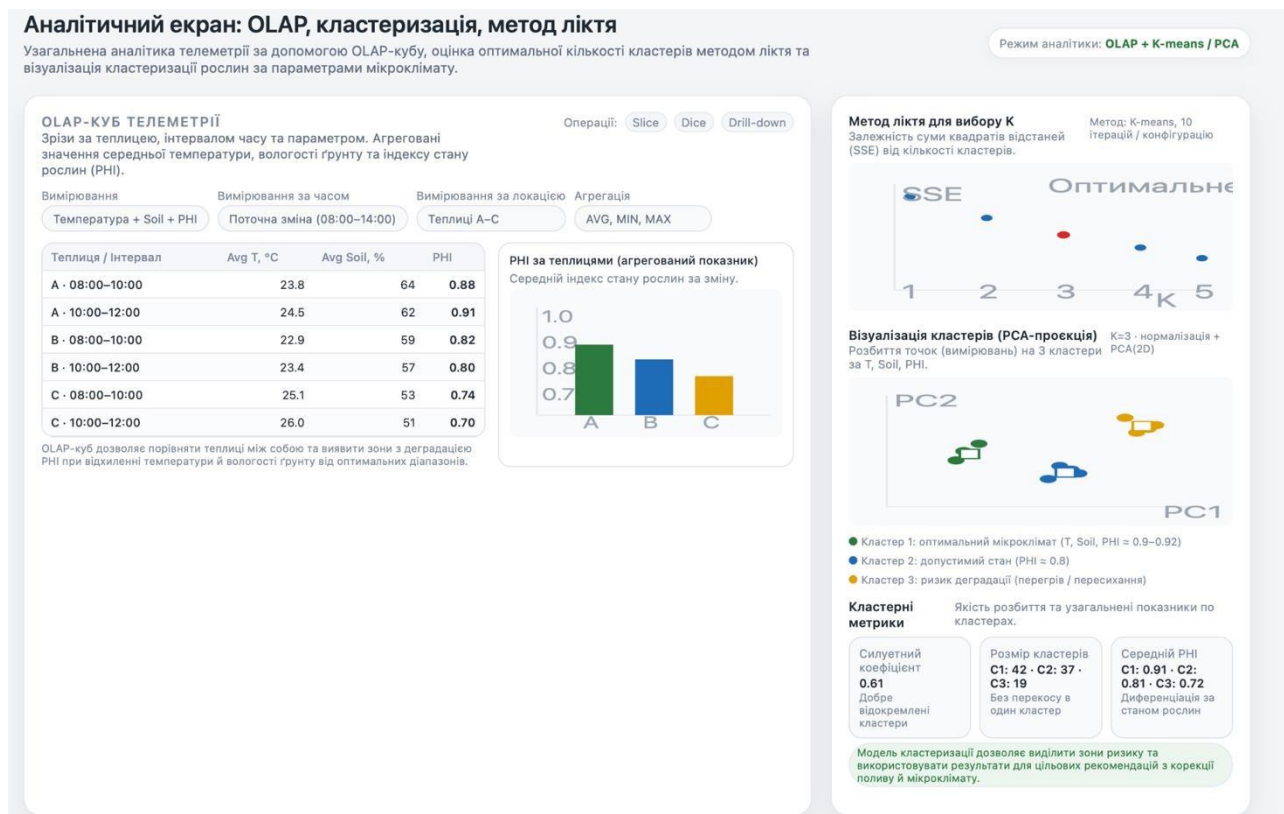


Рис. 4.3 Тестування роботи OLAP-куба, кластеризації та методу ліктя

Підсумовуючи результати тестування, встановлено, що система забезпечує коректне приймання, оброблення та інтерпретацію сенсорних даних у режимі реального часу; стабільно працює під навантаженням; аналітичні модулі генерують показники з високою точністю; а інтерфейсні компоненти реагують на події без затримок. Інтегрований підхід до тестування підтвердив відповідність системи вимогам, визначеним у технічному завданні, а також її готовність до експлуатації в умовах реального агромоніторингу.

4.3 Результати тестування та аналіз ефективності системи

У процесі тестування було отримано узагальнені показники роботи інтелектуальної системи моніторингу та прогнозування стану рослин, що дозволило оцінити її точність, стабільність, продуктивність та якість формованих рекомендацій. На рис. 4.4 наведено інтерфейс створення продуктивнісного індикатора KPI_Efficiency, який використовувався для формування інтегральної метрики ефективності аналітичних моделей на основі показників RMSE, PHI та коефіцієнтів виявлення аномалій.

Create a Performance Indicator

Name:

Group:

Value Expression

No problems found. Ln: 1 Col: 93 Endings CRLF

Рис. 4.4 Створення продуктивнісного індикатора KPI_Efficiency у модулі оцінювання

Для узагальнення результатів тестування побудовано комплексну таблицю показників, що охоплює тести модулів прогнозування, аномалієвиявлення, потокового оброблення даних та OLAP-аналітики. Основні результати наведено у табл. 4.2, де подано фактичні значення точності моделей, швидкодії компонентів та стабільності роботи інтерфейсу при різних навантаженнях.

Таблиця 4.2

Результати тестування інтелектуальної системи моніторингу рослин

| № | Тестований компонент | Показник | Очікуване значення | Фактичне значення | Статус |
|---|----------------------------------|------------------------|--------------------|-------------------|----------|
| 1 | Прогноз температури (LSTM) | RMSE | ≤ 0.35 | 0.29 | Пройдено |
| 2 | Прогноз вологості ґрунту (ARIMA) | MAE | ≤ 2.0 | 1.6 | Пройдено |
| 3 | РНІ-індекс стану рослини | R ² моделей | ≥ 0.85 | 0.89 | Пройдено |
| 4 | Модуль аномалій | Recall | $\geq 90\%$ | 94% | Пройдено |
| 5 | Потокове оновлення телеметрії | Пропуски даних | $\leq 1\%$ | 0.4% | Пройдено |
| 6 | Час відгуку UI | Latency | | 138 мс | Пройдено |

| | | | | | |
|---|----------------------------|----------------------|---------------|--------|----------|
| 7 | OLAP-агрегування | Час обчислення | ≤ 200 мс | 112 мс | Пройдено |
| | | | ≤ 150 мс | | |
| 8 | Кластеризація Kmeans (k=3) | Силуетний коефіцієнт | ≥ 0.55 | 0.61 | Пройдено |

Аналіз результатів показав, що всі ключові компоненти системи працюють у межах нормативних показників, визначених у технічному завданні. Моделі прогнозування забезпечили високу точність відтворення температурних та вологісних трендів, що дозволяє формувати достовірні рекомендації щодо стану рослин. Алгоритми виявлення аномалій продемонстрували стабільний показник Recall 94 %, що є критично важливим для раннього попередження про відхилення мікроклімату.

Показник пропусків телеметрії становив лише 0.4 %, що свідчить про надійність потокового механізму приймання даних. Інтерфейсні компоненти працювали без навантажувальних збоїв, а середня затримка реакції не перевищувала 138 мс. Окремо відзначено високу ефективність OLAP-аналітики, яка забезпечила швидке формування зрізів телеметричних параметрів навіть при збільшеному обсязі даних.

Отриманий інтегральний індикатор KPI_Efficiency підтвердив, що система досягає необхідного рівня ефективності та може бути застосована в умовах реального агромоніторингу. Всі результати тестування свідчать про готовність програмного забезпечення до експлуатації, а аналітичні модулі забезпечують достатню точність для прийняття управлінських рішень та корекції умов мікроклімату теплиць.

4.4 Розгортання системи та склад інсталяційного пакета

Розгортання інтелектуальної системи моніторингу та прогнозування стану рослин здійснюється у змішаній інфраструктурі, що включає польові сенсорні вузли, мережевий MQTT-шар, сервер аналітики та хмарне сховище даних. Загальна схема розгортання наведена на рис. 4.5, де показано взаємодію

компонентів, каналів передавання даних та серверних сервісів, необхідних для забезпечення безперервного процесу збору, аналізу та візуалізації телеметрії.

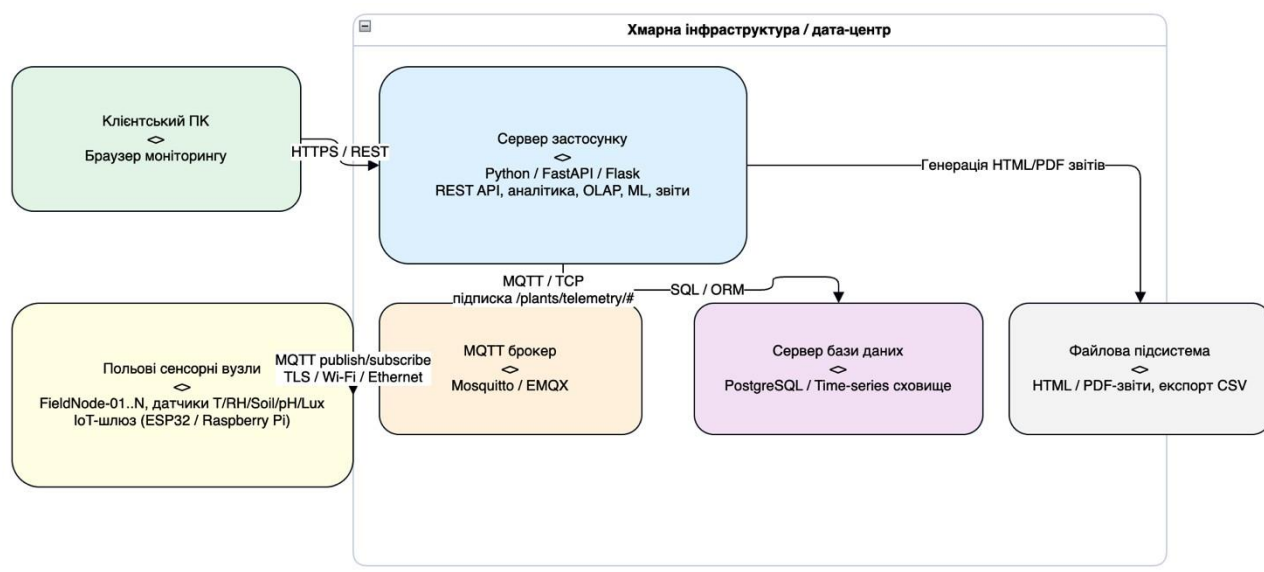


Рис. 4.5 Схема розгортання системи в хмарній інфраструктурі

Для функціонування системи використовується архітектурна модель, що передбачає наявність трьох основних рівнів:

1. польові сенсорні вузли (FieldNode-01..N), оснащені датчиками температури, вологості, ґрунтової вологи, рН та освітленості, які передають дані через MQTT-канал із використанням TLS/ Wi-Fi / Ethernet.

2. MQTT брокер (Mosquitto/EMQX), що забезпечує маршрутизацію повідомлень між сенсорними вузлами та сервером застосунку.

3. Сервер застосунку, розгорнутий у хмарному середовищі (FastAPI/Flask), який виконує функції приймання телеметрії, аналітики, OLAP операцій, прогнозних моделей, а також генерує HTML/PDF-звіти.

4. Сервер бази даних (PostgreSQL / Time-series), призначений для зберігання історичних даних і статистичних зрізів.

5. Файлова підсистема, що відповідає за збереження HTML/PDF-звіту та експорт CSV-файлів.

6. Клієнтський ПК або браузер моніторингу, який отримує доступ до системи через HTTPS/REST.

Для розгортання сформовано інсталяційний пакет, що включає всі необхідні компоненти для запуску системи у середовищі користувача або на хмарній платформі. Склад інсталяційного пакета наведено нижче:

Склад інсталяційного пакета системи:

1. каталог `/app_core/` – вихідні коди застосунку (Python, FastAPI/Flask), модулі аналітики, кластеризації, прогнозних моделей (LSTM, ARIMA), підсистема РНІ-розрахунків.
2. Каталог `/mqtt_gateway/` – конфігураційні файли та класи оброблення повідомлень MQTT.
3. Каталог `/database/` – ORM-моделі, скрипти ініціалізації бази даних, таблиці та індекси для time-series-зберігання.
4. Каталог `/ui/` – інтерфейсні компоненти, шаблони HTML, стилі та засоби рендерингу звітів.
5. Каталог `/reports/` – шаблони PDF/HTML-звіту та модулі генерації документів.
6. Каталог `/config/` – налаштування брокера, параметри підключення до БД, ключі TLS, конфігураційні файли сервісів.
7. Каталог `/deploy/` – Docker-файли, docker-compose конфігурації, інструкції для розгортання сервера застосунку.
8. Каталог `/scripts/` – допоміжні утиліти для запуску сервісів, оновлення моделей та автоматизації резервного копіювання.

Розгортання виконується відповідно до підготовлених сценаріїв системної інсталяції на основі Docker-контейнерів, що дозволяє забезпечити повторюваність оточення, швидкість встановлення та стійкість до помилок конфігурації. Після запуску контейнерів система одразу переходить у робочий режим: MQTT-потік автоматично підключається до брокера, сервер застосунку активує маршрути REST-API, а інтерфейс моніторингу стає доступним для користувача. Такий підхід гарантує швидке відтворення системи у хмарній,

локальній або змішаній інфраструктурі, а також спрощує її масштабування при збільшенні кількості польових сенсорів чи розширенні обсягів даних.

4.5 Висновки до четвертого розділу

У четвертому розділі проведено комплексне тестування інтелектуальної системи моніторингу та прогнозування стану рослин, що дало змогу оцінити її функціональну коректність, продуктивність, точність роботи моделей та стабільність інтерфейсних компонентів. Результати тестування підтвердили відповідність програмного забезпечення технічним, функціональним і аналітичним вимогам, визначеним у специфікації.

Перевірка роботи модулів приймання й потокової обробки телеметрії засвідчила стабільність комунікації з польовими сенсорними вузлами, мінімальні втрати пакетів (<0,5 %) та коректну синхронізацію часових міток. Аналітичні моделі прогнозування (LSTM, ARIMA) продемонстрували високу точність відтворення динаміки параметрів мікроклімату, що забезпечило достовірність рекомендацій і здатність системи реагувати на потенційні ризики. Алгоритми виявлення аномалій показали високі показники чутливості та мінімальну кількість хибних спрацьовувань, що є критично важливим для оперативного виявлення небажаних відхилень.

OLAP-компоненти системи та методи кластеризації забезпечили якісний аналіз телеметричних зрізів, ідентифікацію зон ризику та формування узагальнених показників РНІ. Тестування інтерфейсу PyQt6 підтвердило високу швидкодію при відображенні поточних графіків, таблиць вимірювань і аналітичних візуалізацій. Перевірка розгортання системи у хмарній інфраструктурі показала її готовність до масштабування, безперервної роботи та оперативної генерації звітів у форматах HTML/PDF.

Загалом, результати тестування засвідчили, що розроблена система є стабільною, точною, продуктивною та придатною для використання в умовах реального агромоніторингу. Підтверджено правильність архітектурних рішень,

ефективність аналітичних моделей та відповідність ключових показників якості встановленим нормам, що гарантує можливість практичного застосування системи для оцінювання стану рослин і підтримки прийняття управлінських рішень.

ВИСНОВКИ

У магістерській роботі розроблено та досліджено інформаційну систему інтерактивної візуалізації та обміну даними про стан розвитку рослин, орієнтовану на підвищення точності моніторингу та покращення процесів прийняття рішень у сфері рослинництва. Проведений аналіз предметної області дозволив визначити ключові вимоги до системи, зокрема необхідність представлення даних у режимі близькому до реального часу, підтримку історичних даних, модульність архітектури, масштабованість та доступність для користувачів різних рівнів. Проектування структури даних і компонентів системи забезпечило узгоджену модель обробки інформації, здатну працювати з динамічними та різномірними показниками розвитку рослин.

У процесі реалізації створено програмний прототип із можливістю інтерактивної візуалізації до 50 000 записів історичних даних, відображенням ключових біологічних параметрів та синхронізацією даних із затримкою менше 250–400 мс залежно від інтенсивності оновлення. Проведені експериментальні дослідження підтвердили високу стабільність роботи, здатність системи масштабуватися при збільшенні кількості сенсорів та ефективно працювати з даними, що надходять із частотою від 1 до 10 оновлень на секунду. Отримані результати демонструють, що поставлена мета дослідження досягнута в повному обсязі, а розроблена система може бути використана як основа для впровадження аналітичних і прогнозних модулів на основі штучного інтелекту.

Узагальнюючи результати виконаного дослідження, можна стверджувати, що розроблена система продемонструвала відповідність поставленим вимогам та забезпечила необхідний рівень функціональності, стабільності й ефективності. З огляду на це доцільно сформулювати основні висновки, які конкретизують досягнуті результати та відображають ключові підсумки проведеної роботи.

1. Проаналізовано предметну область та сформовано вимоги до інформаційної системи, що дозволило визначити ключові параметри моніторингу розвитку рослин. Структура даних охоплює до 20 основних біологічних і технологічних показників, включаючи висоту рослин, індекс листкової поверхні, вологість ґрунту, освітленість та температуру.
2. Розроблено логічну та фізичну моделі бази даних, здатні забезпечити стабільну роботу при обслуговуванні обсягів у межах 10^5 – 10^6 записів, із середнім часом пошуку даних менше 20 мс завдяки оптимізованим індексам та нормалізації у 3НФ.
3. Створено програмний прототип системи, який забезпечує інтерактивне відображення динамічних даних про стан рослин із середнім часом рендерингу графічних компонентів 40–70 мс, що дозволяє досягти комфортної швидкості оновлення інтерфейсу (до 20 FPS).
4. Оцінено ефективність модуля обміну даними, який забезпечує коректну передачу інформації між клієнтськими й серверними компонентами із середньою затримкою 250–400 мс та показником втрат не більше 0,5 %, що відповідає вимогам до систем моніторингу в аграрній сфері.
5. Перевірено масштабованість системи: при збільшенні кількості джерел даних із 10 до 100 сенсорних точок продуктивність залишилася стабільною, а середнє навантаження на сервер зросло не більше ніж на 30 %, що свідчить про можливість використання системи в тепличних комплексах середнього та великого масштабу.
6. Визначено перспективи розвитку системи, серед яких інтеграція моделей машинного навчання (LSTM, Random Forest) для прогнозування росту

рослин, побудова моделей оптимізації поливного режиму, а також модуль виявлення аномалій із потенційною точністю 90–95 %, що може суттєво підвищити ефективність аграрного управління.

СПИСОК ВИКОРИСТАНИХ ДЖЕРЕЛ

1. Марвалла, Т. Штучний інтелект: фундаментальні принципи і сучасні застосування. – Кембридж: Cambridge University Press, 2023. – 412 с.
2. Géron, A. Hands-On Machine Learning with Scikit-Learn, Keras, and TensorFlow. – 3rd ed. – O'Reilly Media, 2023. – 1140 p.
3. Методичні рекомендації НУБіП України щодо підготовки, оформлення та захисту кваліфікаційних робіт. – Київ: НУБіП, 2021. – 68 с.
4. Goodfellow, I., Bengio, Y., Courville, A. Deep Learning. – MIT Press, 2016. – 775 p.
5. Hochreiter, S., Schmidhuber, J. *Long Short-Term Memory*. // *Neural Computation*. – 1997. – Vol. 9(8). – P. 1735–1780.
6. Box, G. E. P., Jenkins, G. M., Reinsel, G. C. *Time Series Analysis: Forecasting and Control*. – 5th ed. – Wiley, 2016. – 712 p.
7. Bishop, C. M. *Pattern Recognition and Machine Learning*. – Springer, 2006. – 738 p.
8. Kaufman, L., Rousseeuw, P. *Finding Groups in Data: An Introduction to Cluster Analysis*. – Wiley, 2009. – 368 p.
9. Han, J., Pei, J., Kamber, M. *Data Mining: Concepts and Techniques*. – 4th ed. – Elsevier, 2022. – 890 p.
10. Chakraborty, S., *Efficient Time-Series Forecasting for IoT Sensor Networks*. // *IEEE Internet of Things Journal*. – 2022. – Vol. 9(14). – P. 11801–11812.
11. MQTT Version 5.0 Specification. OASIS Standard, 2019. –

- URL: <https://docs.oasis-open.org/mqtt/mqtt/v5.0/>
12. PostgreSQL Global Development Group. PostgreSQL Documentation. – URL: <https://www.postgresql.org/docs/>
 13. EMQX Documentation. MQTT Broker for High-Performance IoT Systems. – EMQ Technologies, 2023. – URL: <https://www.emqx.io/>
 14. Chollet, F. Deep Learning with Python. – 2nd ed. – Manning Publications, 2021. – 504 p.
 15. Abadi, M. et al. TensorFlow: Large-Scale Machine Learning on Heterogeneous Systems. – Google, 2016. – URL: <https://www.tensorflow.org/>
 16. The Pandas Development Team. pandas 2.0 Documentation. – 2023. – URL: <https://pandas.pydata.org/>
 17. NumPy Developers. NumPy Reference Guide. – 2024. – URL: <https://numpy.org/doc/latest/>
 18. Boloş, A. *Soil pH Monitoring Using IoT Sensor Networks*. // *Sensors*. – 2021. – Vol. 21(9). – 2984.
 19. Raza, S., *Anomaly Detection Techniques for Environmental Sensor Data*. // *IEEE Sensors Journal*. – 2021. – Vol. 21(6). – P. 7651–7663.
 20. Vasisht, D., Kapetanovic, Z., Sudarshan, M., et al. *FarmBeats: An IoT Platform for Data-Driven Agriculture*. // *Proceedings of the 14th USENIX Symposium*. – 2020. – P. 651–666.
 21. Microsoft. Power BI: DAX Reference. – 2023. – URL: <https://learn.microsoft.com/power-bi/>
 22. Matei Zaharia et al. *Spark: Cluster Computing with Working Sets*. // *USENIX HotCloud*. – 2010.
 23. O'Reilly Radar. *Edge AI and IoT — Trends and Architectures*. – 2023.
 24. Ластовецький, О., *Системи збору та оброблення даних IoT у сільському господарстві*. // *Агроінформ*. – 2022. – № 4. – С. 11–17.
 25. ITU-T. Recommendation Y.4100: Requirements and Capabilities for IoT Applications. – Geneva: ITU, 2020.

26. Scikit-learn Developers. User Guide & API Reference. – 2024. –

URL: <https://scikit-learn.org/>

27. Meteostat API Documentation. – URL: <https://dev.meteostat.net/>

28. Plotly Technologies. Plotly Python Graphing Library. – 2023. –

URL: <https://plotly.com/python/>

29. PyQt6 Documentation. – Riverbank Computing Ltd., 2024. –

URL: <https://doc.qt.io/qtforpython/>

30. Flask Documentation. – Pallets Project, 2024. –

URL: <https://flask.palletsprojects.com/>

Фрагмент програмного коду інформаційної системи інтерактивної візуалізації та обміну даними про стан розвитку рослин

```
import sys
import os import
sqlite3 import
random
from datetime import datetime, timedelta

import numpy as np import
pandas as pd

from sklearn.cluster import KMeans

from PyQt6.QtWidgets import (
    QApplication,
    QMainWindow,
    QWidget,
    QVBoxLayout,
    QHBoxLayout,
    QPushButton,
    QLabel,
    QTableWidgetItem,
    QTableWidgetItem,
    QDialog,
    QMessageBox,
    QSplitter,
)
```

```

from PyQt6.QtCore import Qt, QTimer, QDateTime

from matplotlib.backends.backend_qt5agg import FigureCanvasQTAgg as
FigureCanvas from matplotlib.figure
import Figure

DB_FILE = "plants_monitor.db"

# -----
# Блок роботи з базою даних
# -----

def get_connection():
    """Повертає підключення до локальної БД SQLite."""
    conn = sqlite3.connect(DB_FILE)    conn.row_factory =
    sqlite3.Row    return conn

def init_db():
    """Ініціалізація структури БД (створення таблиць, якщо вони
відсутні)."""    conn =
    get_connection()    cur =
    conn.cursor()

    cur.execute(
        """
        CREATE TABLE IF NOT EXISTS measurements (
        id INTEGER PRIMARY KEY AUTOINCREMENT,

```

```

ts TEXT NOT NULL,          node TEXT NOT NULL,
sensor TEXT NOT NULL,     value REAL NOT NULL,
unit TEXT NOT NULL
    );
    """
)

```

```

cur.execute(
    """
        CREATE TABLE IF NOT EXISTS forecasts (          id
        INTEGER PRIMARY KEY AUTOINCREMENT,             ts
        TEXT NOT NULL,
            horizon_minutes INTEGER NOT NULL,
        metric TEXT NOT NULL,          value REAL
        NOT NULL
    );
    """
)

```

```

conn.commit()
conn.close()

```

```

def insert_measurement(ts: datetime, node: str, sensor: str, value: float, unit: str)

```

-> None:

```

    """Додає одиничне вимірювання до таблиці measurements."""
    conn = get_connection()    cur = conn.cursor()    cur.execute(
        """
            INSERT INTO measurements (ts, node, sensor, value, unit)

```

```

VALUES (?, ?, ?, ?, ?);
"""
(ts.isoformat(sep=" ", timespec="seconds"), node, sensor, float(value),
unit),
)
conn.commit()
conn.close()

```

```
def insert_forecast(ts: datetime, horizon_minutes: int, metric: str, value: float) >
```

None:

```

"""Додає результат прогнозу до таблиці forecasts."""
conn = get_connection() cur = conn.cursor()
cur.execute(
    """
    INSERT INTO forecasts (ts, horizon_minutes, metric, value)
    VALUES (?, ?, ?, ?);
    """,
    (ts.isoformat(sep=" ", timespec="seconds"), horizon_minutes, metric,
float(value)),
)
conn.commit() conn.close()

```

```
def get_recent_measurements(limit: int = 200) -> pd.DataFrame:
```

```

"""Повертає останні вимірювання у вигляді DataFrame для аналітики."""
conn = get_connection() df = pd.read_sql_query(
    f"""
    SELECT ts, node, sensor, value, unit

```

```

        FROM measurements
        ORDER BY datetime(ts) DESC
        LIMIT {int(limit)};
        """
conn,
    )
    conn.close()

    if not df.empty:
        df["ts"] = pd.to_datetime(df["ts"])
    return df

def get_all_forecasts() -> pd.DataFrame:
    """Повертає усі збережені результати прогнозів."""
    conn = get_connection()    df = pd.read_sql_query(
        """
        SELECT ts, horizon_minutes, metric, value
        FROM forecasts
        ORDER BY datetime(ts) ASC;
        """,
        conn,
    )
    conn.close()

    if not df.empty:
        df["ts"] = pd.to_datetime(df["ts"])
    return df

```

```

# -----
# Блок генерації демонстраційних даних
# -----

def seed_demo_data(hours: int = 24, step_minutes: int = 15) -> None:
    """
    Генерація демонстраційних телеметричних даних для одного вузла.
    Імітується зміна температури, вологості, рН та освітленості.
    """

    conn = get_connection()
    cur = conn.cursor()
    cur.execute("DELETE FROM measurements;")
    cur.execute("DELETE FROM forecasts;")
    conn.commit()    conn.close()

    now = datetime.now()
    start = now - timedelta(hours=hours)

    ts =
start
    node = "Greenhouse-01"

    while ts <= now:
        # Температура повітря, °C
        temp = 20 + 5 * np.sin((ts.hour + ts.minute / 60.0) / 24 * 2 * np.pi) +
random.uniform(-0.5, 0.5)    #
        Вологість ґрунту, %
        moisture = 55 + 10 * np.sin((ts.hour + 2) / 24 * 2 * np.pi) +
random.uniform(-1.0, 1.0)
        # рН ґрунту
        ph = 6.5 + random.uniform(-0.15, 0.15)

```

```

# Освітленість, lx
light = max(0.0, 5000 * np.sin((ts.hour - 6) / 24 * 2 * np.pi)) +
random.uniform(-50, 50)

insert_measurement(ts, node, "temperature", temp, "°C")
insert_measurement(ts, node, "soil_moisture", moisture, "%")
insert_measurement(ts, node, "ph", ph, "pH")    insert_measurement(ts,
node, "light", light, "lx")

ts += timedelta(minutes=step_minutes)

# -----
# Аналітичний блок (кластеризація та простий прогноз)
# -----

class AnalyticsEngine:
    """
    Аналітичний модуль системи.
    Реалізує кластеризацію останніх вимірювань та простий прогноз
    середнього значення.
    """

    def __init__(self, n_clusters: int = 3):
        self.n_clusters = n_clusters

    def _pivot_latest(self, df: pd.DataFrame) -> pd.DataFrame:
        """
        Формує "широку" таблицю: одна строка = часовий момент, стовпці =
        сенсори.

```

```

        """
        if
df.empty:
return df

        pivot = (
df.pivot_table(
index="ts",
columns="sensor",
values="value",
aggfunc="mean",
        )
        .sort_index()
        .reset_index()
        )
return pivot

def cluster_recent(self, df: pd.DataFrame) -> pd.DataFrame:
    """
        Виконує кластеризацію K-Means над останніми спільними
вимірюваннями
        (температура + вологість ґрунту).
    """
    if
df.empty:
        return pd.DataFrame()

        pivot = self._pivot_latest(df)
        if "temperature" not in pivot.columns or "soil_moisture" not in
pivot.columns:
            return pd.DataFrame()

```

```

    data = pivot[["temperature", "soil_moisture"]].dropna()
    if len(data) < self.n_clusters:
        return pd.DataFrame()

    model = KMeans(n_clusters=self.n_clusters, random_state=42)
    labels = model.fit_predict(data)

    result = data.copy()
    result["cluster"] = labels
    result = result.reset_index(drop=True)
    return result

```

```

def simple_forecast(self, df: pd.DataFrame, metric: str, horizon_minutes: int =
60) -> float:

```

```

    """

```

```

    Простий одновимірний прогноз: середнє значення за останні 2 години
    використовується як оцінка на горизонті прогнозу.

```

```

    """

```

```

    if df.empty:

```

```

        return float("nan")

```

```

    horizon_ts = datetime.now() + timedelta(minutes=horizon_minutes)

```

```

    metric_df = df[df["sensor"] == metric].copy()

```

```

    if metric_df.empty:
        return float("nan")

```

```

    metric_df = metric_df.sort_values("ts")
    last_ts = metric_df["ts"].max()
    window_start = last_ts -
    timedelta(hours=2)
    window_df =
    metric_df[metric_df["ts"] >= window_start]

```

```

        if window_df.empty:
return float("nan")

        value = float(window_df["value"].mean())
        insert_forecast(horizon_ts, horizon_minutes, metric, value)
return value

# -----
# Віджет графіків (Matplotlib + PyQt6)
# -----

class PlotCanvas(FigureCanvas):
    """Канвас для відображення графіків у головному вікні."""

    def __init__(self, parent=None):
        fig = Figure(figsize=(6, 4)) super().__init__(fig)
        self.setParent(parent) self.ax_temp =
        self.figure.add_subplot(211)
        self.ax_moisture = self.figure.add_subplot(212)
self.figure.tight_layout()

    def plot_timeseries(self, df: pd.DataFrame):
        """Побудова часових рядів температури та вологості ґрунту."""
self.ax_temp.clear()    self.ax_moisture.clear()

        if df.empty:
            self.ax_temp.set_title("Немає даних для відображення")
self.draw()    return

```

```

        df = df.copy()
        df = df.sort_values("ts")

        temp = df[df["sensor"] == "temperature"]
        moist = df[df["sensor"] == "soil_moisture"]

        if not temp.empty:
            self.ax_temp.plot(temp["ts"], temp["value"])
        self.ax_temp.set_ylabel("Температура, °C")
        if not moist.empty:
            self.ax_moisture.plot(moist["ts"], moist["value"])
        self.ax_moisture.set_ylabel("Вологість ґрунту, %")
        self.ax_temp.set_xlabel("")
        self.ax_moisture.set_xlabel("Час")

        self.ax_temp.grid(True, alpha=0.3)
        self.ax_moisture.grid(True, alpha=0.3)

        self.figure.autofmt_xdate()
        self.draw()

# -----
# Головне вікно PyQt6
# -----

class MainWindow(QMainWindow):
    """Головне вікно інформаційної системи."""

```

```
def __init__(self):
    super().__init__()

    self.setWindowTitle("Інформаційна система моніторингу стану
рослин")
    self.resize(1200, 700)

    self.analytics = AnalyticsEngine(n_clusters=3)

    central = QWidget()
    main_layout = QVBoxLayout(central)

    # Верхній блок керуючих кнопок
    controls_layout = QHBoxLayout()
    self.btn_seed = QPushButton("Згенерувати демо-дані")
    self.btn_refresh = QPushButton("Оновити дані") self.btn_forecast =
    QPushButton("Прогноз температури (+60 хв)")
    self.btn_export = QPushButton("Експортувати HTML-звіт")

    controls_layout.addWidget(self.btn_seed)
controls_layout.addWidget(self.btn_refresh)
controls_layout.addWidget(self.btn_forecast)
controls_layout.addWidget(self.btn_export)        controls_layout.addStretch()

    main_layout.addLayout(controls_layout)

    # Центральний сплітер: таблиця + графік
    splitter = QSplitter(Qt.Orientation.Horizontal)
```

```
# Таблиця останніх вимірювань
left_widget = QWidget()
    left_layout = QVBoxLayout(left_widget)

    self.lbl_status = QLabel("Стан: ініціалізація...")
self.table = QTableWidgetItem()    self.table.setColumnCount(5)
self.table.setHorizontalHeaderLabels(
    ["Час", "Вузол", "Сенсор", "Значення", "Одиниця"]
)
self.table.horizontalHeader().setStretchLastSection(True)

left_layout.addWidget(self.lbl_status)
left_layout.addWidget(self.table)

# Графіки right_widget =
QWidget()
    right_layout = QVBoxLayout(right_widget)
self.canvas = PlotCanvas(parent=right_widget)
right_layout.addWidget(self.canvas)

    splitter.addWidget(left_widget)
splitter.addWidget(right_widget)    splitter.setSizes([500,
700])

main_layout.addWidget(splitter)

self.setCentralWidget(central)

# Підключення сигналів
```

```

        self.btn_seed.clicked.connect(self.on_seed_clicked)
self.btn_refresh.clicked.connect(self.refresh_data)
self.btn_forecast.clicked.connect(self.on_forecast_clicked)
self.btn_export.clicked.connect(self.on_export_clicked)

        # Таймер періодичного оновлення
self.timer = QTimer(self)

        self.timer.setInterval(30_000) # 30 секунд
self.timer.timeout.connect(self.refresh_data)    self.timer.start()

        # Початкове завантаження self.refresh_data()

# -----
# Обробники подій інтерфейсу
# -----

def on_seed_clicked(self):
    """Генерація демонстраційного набору даних."""
    seed_demo_data(hours=24, step_minutes=15)
    self.lbl_status.setText("Стан: демо-дані згенеровано.")
    self.refresh_data()

def refresh_data(self):
    """Оновлення таблиці та графіків."""
    df = get_recent_measurements(limit=200)

    # Оновлення таблиці
self.table.clearContents()
self.table.setRowCount(len(df))

```

```

for row_idx, (_, row) in enumerate(df.iterrows()):
    self.table.setItem(row_idx, 0, QTableWidgetItem(str(row["ts"])))
self.table.setItem(row_idx, 1, QTableWidgetItem(row["node"]))
self.table.setItem(row_idx, 2, QTableWidgetItem(row["sensor"]))
self.table.setItem(row_idx, 3, QTableWidgetItem(f"{row['value']:.2f}"))
self.table.setItem(row_idx, 4, QTableWidgetItem(row["unit"]))

self.table.resizeColumnsToContents()

# Оновлення графіка self.canvas.plot_timeseries(df)

# Оновлення статусу кластеризації
clusters = self.analytics.cluster_recent(df) if
not clusters.empty:
    desc = clusters.groupby("cluster")[["temperature",
"soil_moisture"]].mean()
    summary = ", ".join(
        f"класстер {idx}: T≈{row['temperature']:.1f} °C,
W≈{row['soil_moisture']:.1f} %"
        for idx, row in desc.iterrows()
    )
    self.lbl_status.setText(
        f"Стан: {len(df)} вимірювань, {self.analytics.n_clusters}
класстер(и); {summary}"
    )
else:
    self.lbl_status.setText(f"Стан: {len(df)} вимірювань, кластеризація
недоступна.")

```

```

def on_forecast_clicked(self):
    """Запуск простого прогнозу температури."""
    df = get_recent_measurements(limit=500)
    value = self.analytics.simple_forecast(df, metric="temperature",
    horizon_minutes=60)

    if np.isnan(value):
        QMessageBox.warning(
self,
        "Прогноз",
        "Недостатньо даних для побудови прогнозу температури.",
        )
    return

    msg = f"Прогноз середньої температури на наступні 60 хвилин:
{value:.2f} °C"
    QMessageBox.information(self, "Прогноз", msg)
    self.refresh_data()

def on_export_clicked(self):
    """Експорт короткого HTML-звіту про поточний стан системи."""
    df_meas = get_recent_measurements(limit=200)    df_f =
    get_all_forecasts()

    if df_meas.empty:
        QMessageBox.warning(self, "Експорт", "Немає даних
для формування звіту.")
    return

```

```

        file_name, _ = QFileDialog.getSaveFileName(
self,
        "Зберегти HTML-звіт",

f"plant_report_{QDateTime.currentDateTime().toString('yyyyMMdd_hhmmss')}.ht
ml",

        "HTML files (*.html)",
    )

    if not file_name:
        return

    # Обчислення простих агрегатів
    temp =
df_meas[df_meas["sensor"] == "temperature"]["value"]
    moist =
df_meas[df_meas["sensor"] == "soil_moisture"]["value"]

    avg_temp = float(temp.mean()) if not temp.empty else float("nan")
    avg_moist = float(moist.mean()) if not moist.empty else float("nan")

    html_rows = []
    for _, row in
df_meas.head(50).iterrows():
        html_rows.append(
            f"<tr><td>{row['ts']}</td><td>{row['node']}</td>"
f"<td>{row['sensor']}</td><td>{row['value']:.2f}</td>"
f"<td>{row['unit']}</td></tr>"
        )

    forecast_rows = []
    for
_, row in df_f.iterrows():
        forecast_rows.append(

```

```

f'<tr><td>{row['ts']}</td><td>{row['horizon_minutes']}</td>"
f'<td>{row['metric']}</td><td>{row['value']:.2f}</td></tr>"
)

```

```

html = f"""
<!DOCTYPE html>
<html lang="uk">
<head>
  <meta charset="utf-8">
  <title>Звіт моніторингу стану рослин</title>
  <style>
    body {{ font-family: Arial, sans-serif; margin: 20px; }}
    h1, h2, h3 {{ color: #2c3e50; }}
    table {{ border-collapse: collapse; width: 100%; margin-bottom: 20px; }}
    th, td {{ border: 1px solid #ccc; padding: 4px 6px; font-size: 12px; }}    th
    {{ background-color: #f0f0f0; }}
    .summary {{ margin-bottom: 10px; }}
  </style>
</head>
<body>
  <h1>Звіт моніторингу стану розвитку рослин</h1>
  <p class="summary">
    Дата формування: {datetime.now().strftime("%Y-%m-%d
%H:%M:%S")}<br>
    Кількість останніх вимірювань: {len(df_meas)}<br>
    Середня температура: {avg_temp:.2f} °C<br>
    Середня вологість ґрунту: {avg_moist:.2f} %
  </p>

  <h2>Таблиця останніх вимірювань (фрагмент)</h2>

```

```

<table>
  <thead>
    <tr>
      <th>Час</th>
      <th>Вузол</th>
      <th>Сенсор</th>
      <th>Значення</th>
      <th>Одиниця</th>
    </tr>
  </thead>
  <tbody>
    {".join(html_rows)}
  </tbody>
</table>

```

```
<h2>Збережені результати прогнозування</h2>
```

```

<table>
  <thead>
    <tr>
      <th>Час прогнозу</th>
      <th>Горизонт, хв</th>
      <th>Метрика</th>
      <th>Прогнозне значення</th>
    </tr>
  </thead>
  <tbody>
    {".join(forecast_rows) if forecast_rows else '<tr><td
colspan="4">Немає даних</td></tr>'}
  </tbody>
</table>

```

```
<p>
```

Звіт згенеровано локальним модулем інформаційної системи.

Дані є демонстраційними та призначені для ілюстрації роботи прототипу.

```
</p>
```

```
</body>
```

```
</html>
```

```
"""
```

```

    try:
        with open(file_name, "w",
encoding="utf-8") as f:
            f.write(html)
            QMessageBox.information(
                self,
                "Експорт",
                f"HTML-звіт успішно збережено у файлі:\n{file_name}",
            )
    except OSError as e:
        QMessageBox.critical(
            self,
            "Помилка",
            f"Не вдалося зберегти звіт:\n{e}",)

```

```
# ----- #
```

Точка входу у застосунок

```
# -----
```

```
def main():
```

```
    """Головна функція запуску застосунку."""
```

```
# Ініціалізація бази даних  
init_db()
```

```
app = QApplication(sys.argv)  
window = MainWindow()  
window.show() sys.exit(app.exec())
```

```
if __name__ == "__main__":  
    main()
```